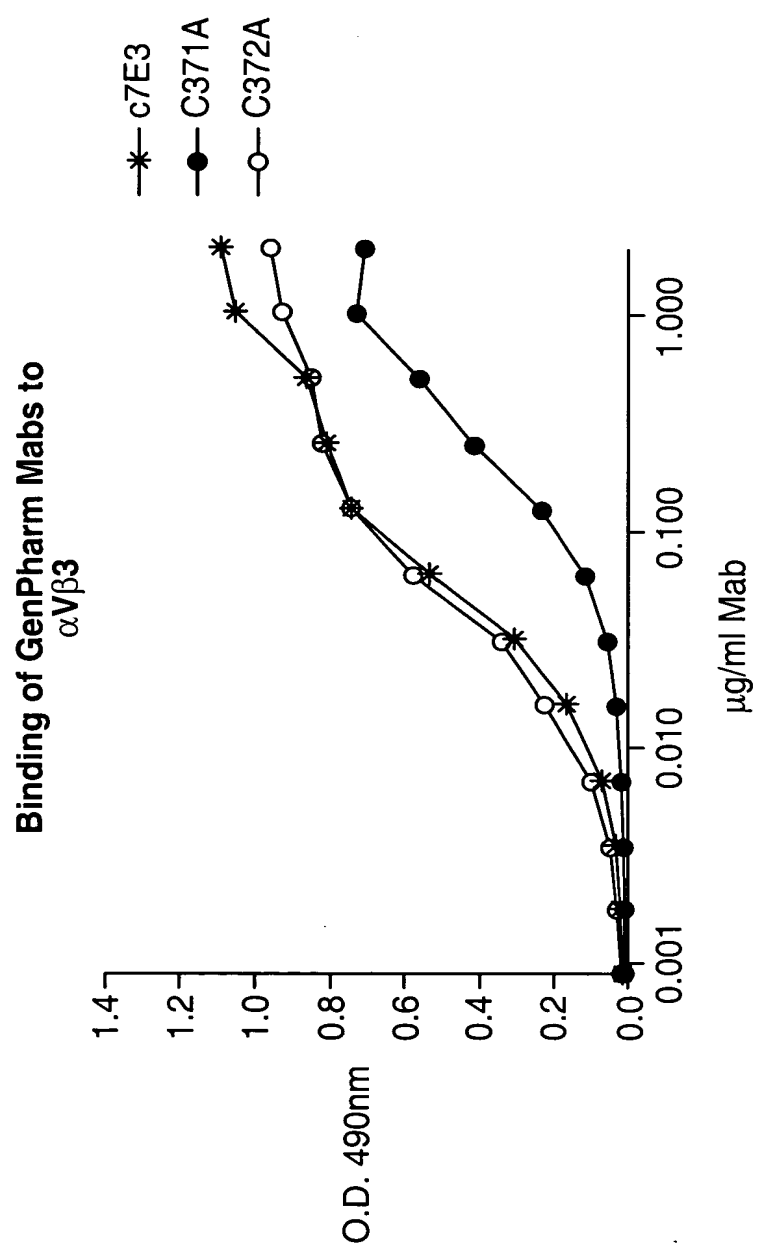
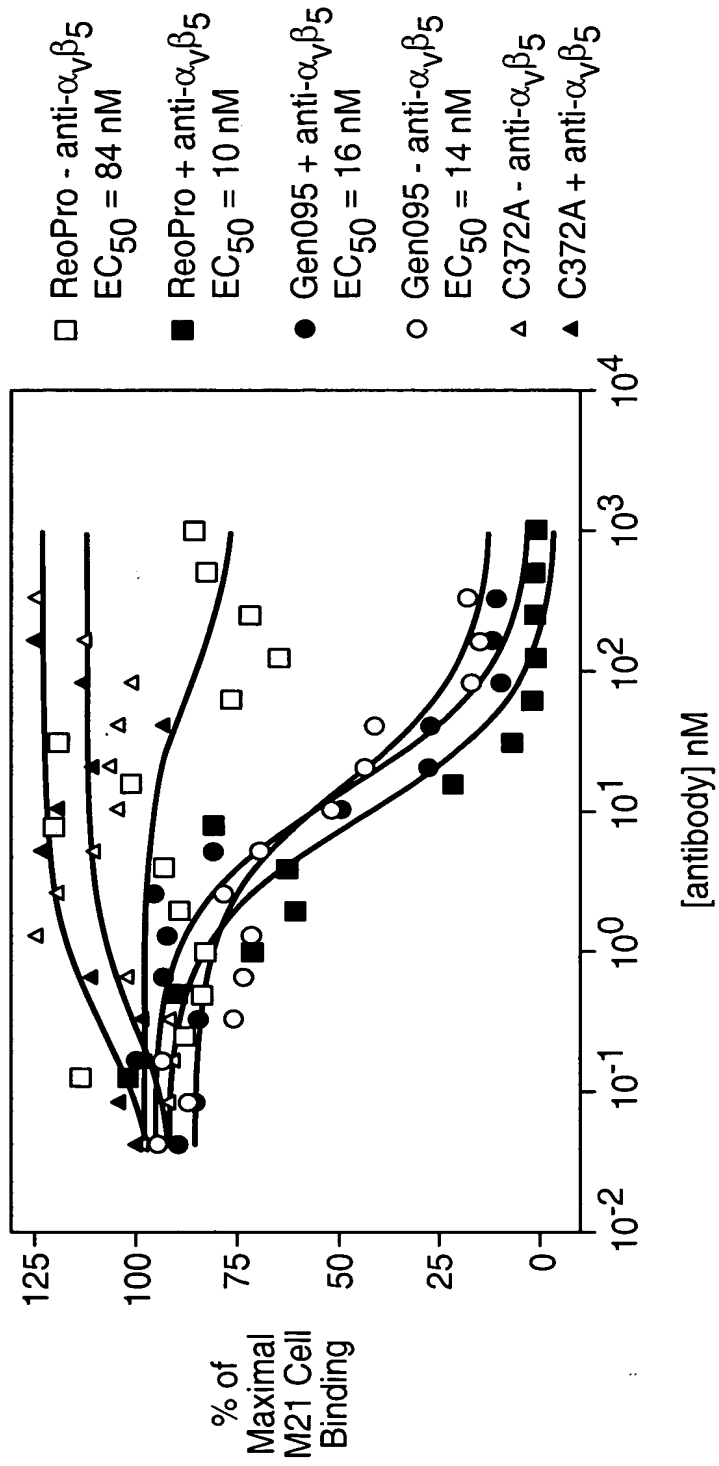


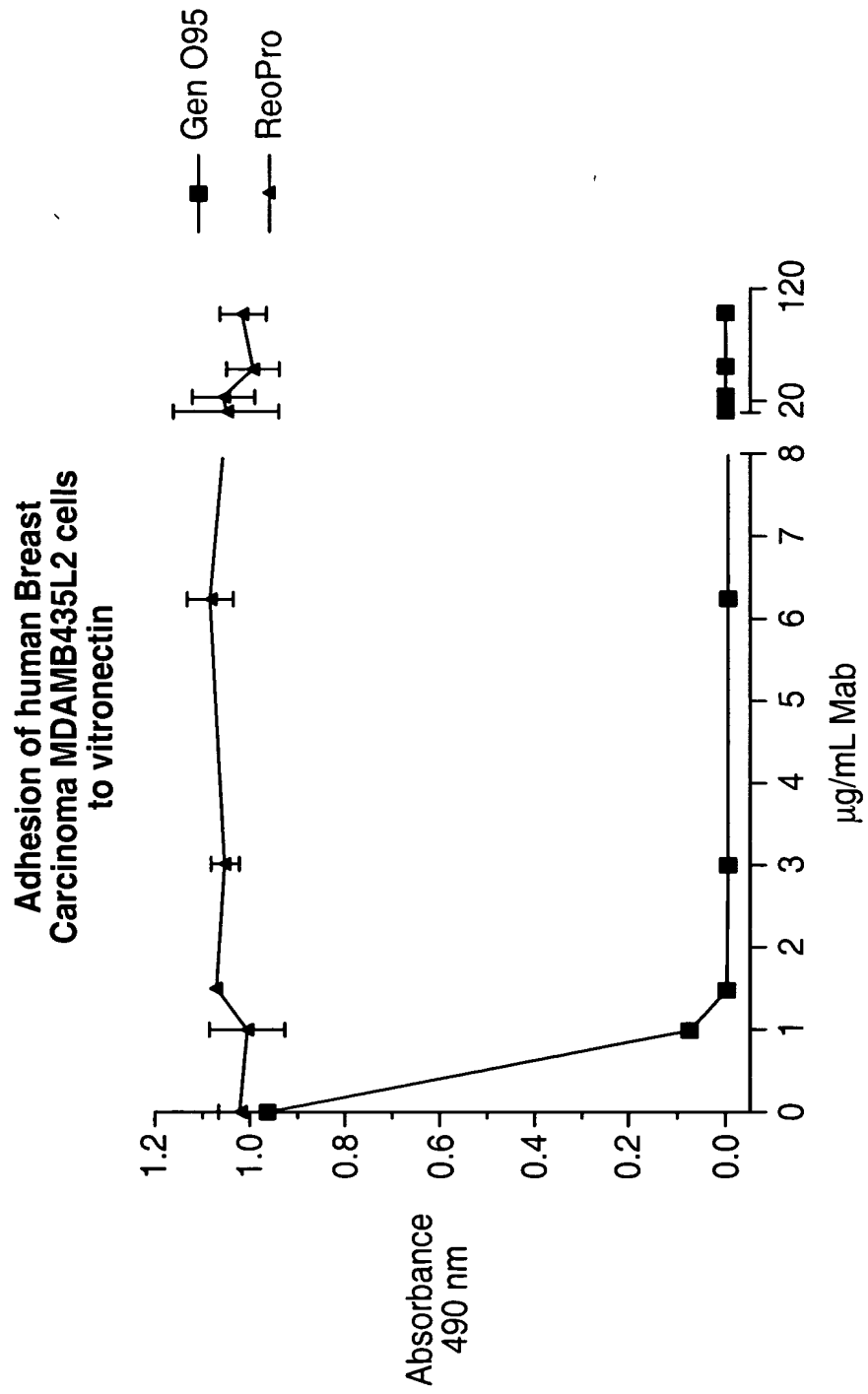
**FIG. 1**



**FIG. 2**

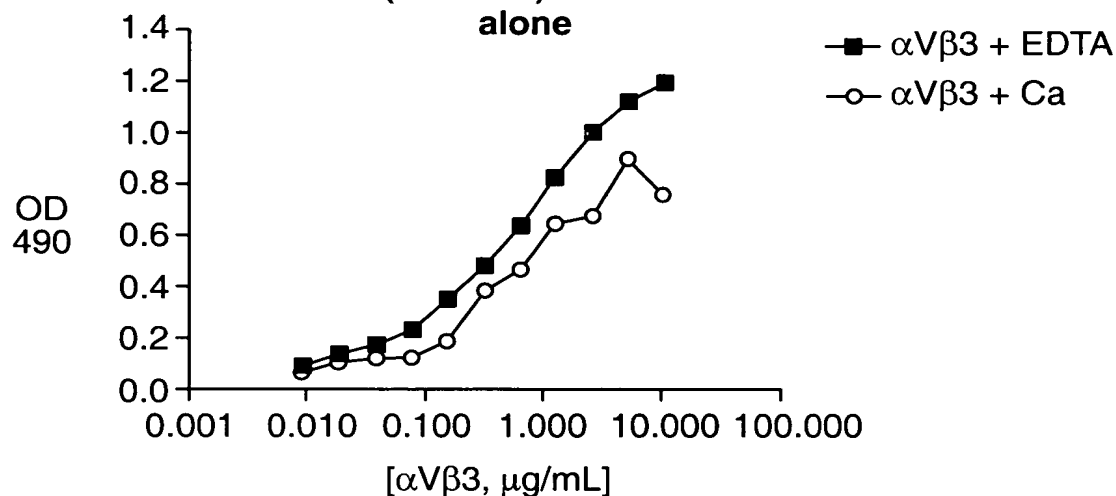


**FIG. 3**



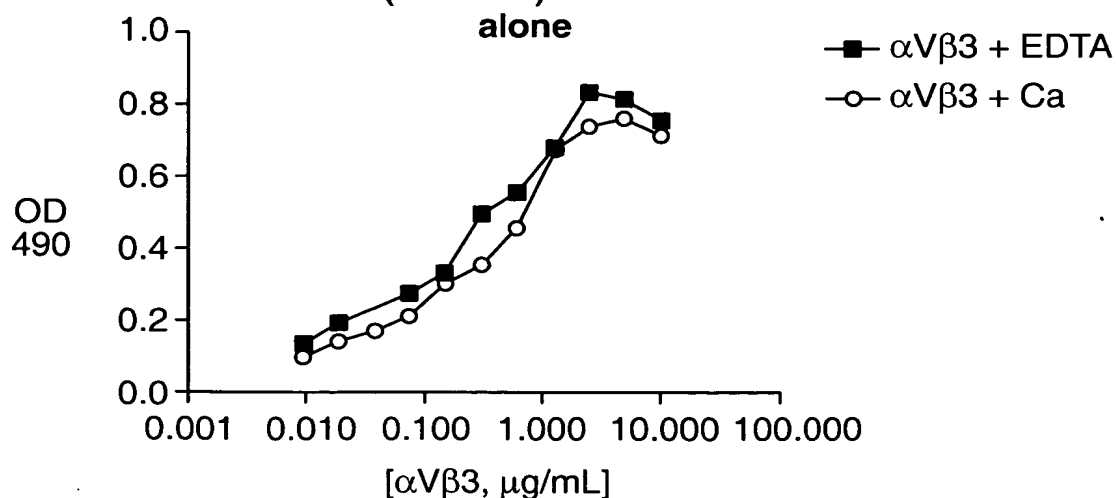
## FIG. 4A

Binding of  $\alpha$ V $\beta$ 3 to GenO95  
Plate in presence of 50 mM  
EDTA (no  $\text{Ca}^{++}$ ) or with  $\text{Ca}^{++}$



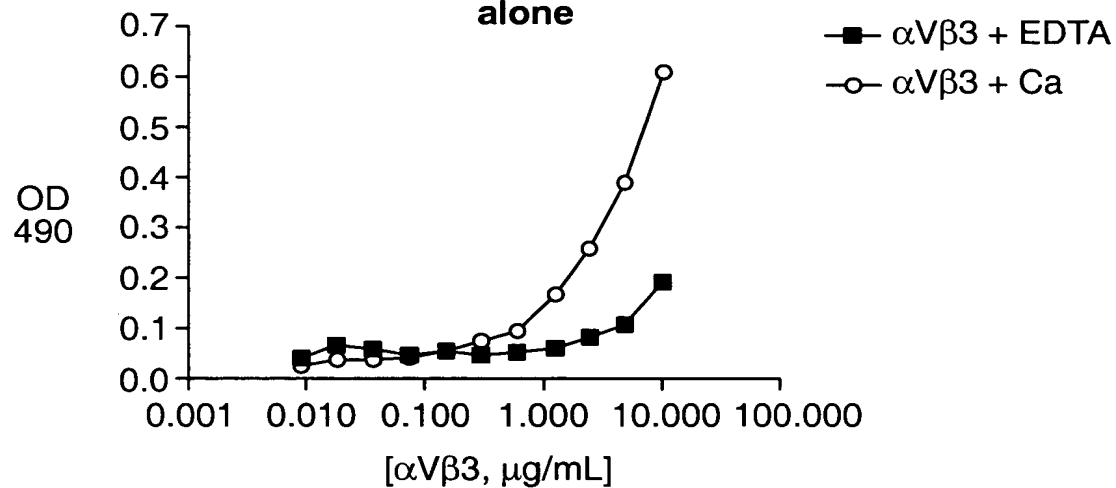
## FIG. 4B

Binding of  $\alpha$ V $\beta$ 3 to C372A  
Plate in presence of 50 mM  
EDTA (no  $\text{Ca}^{++}$ ) or with  $\text{Ca}^{++}$



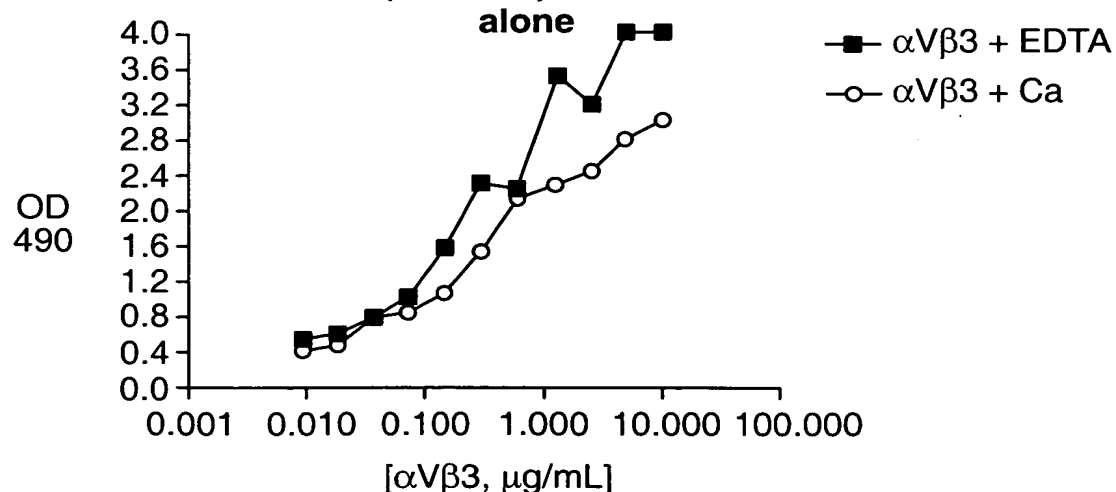
## FIG. 4C

Binding of  $\alpha$ V $\beta$ 3 to c7E3 IgG  
Plate in presence of 50 mM  
EDTA (no  $\text{Ca}^{++}$ ) or with  $\text{Ca}^{++}$   
alone

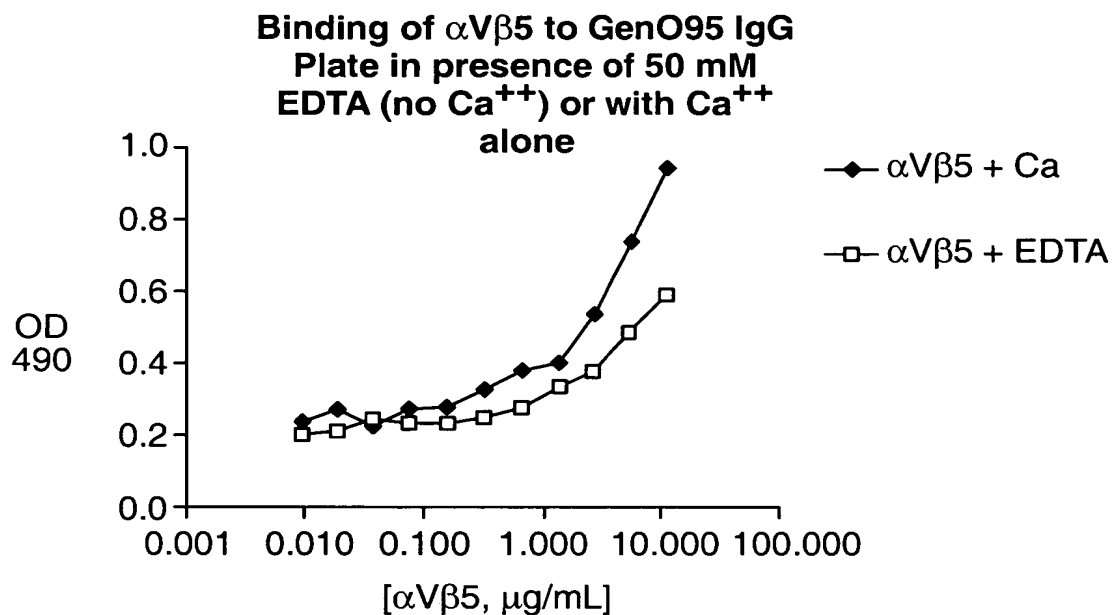


## FIG. 4D

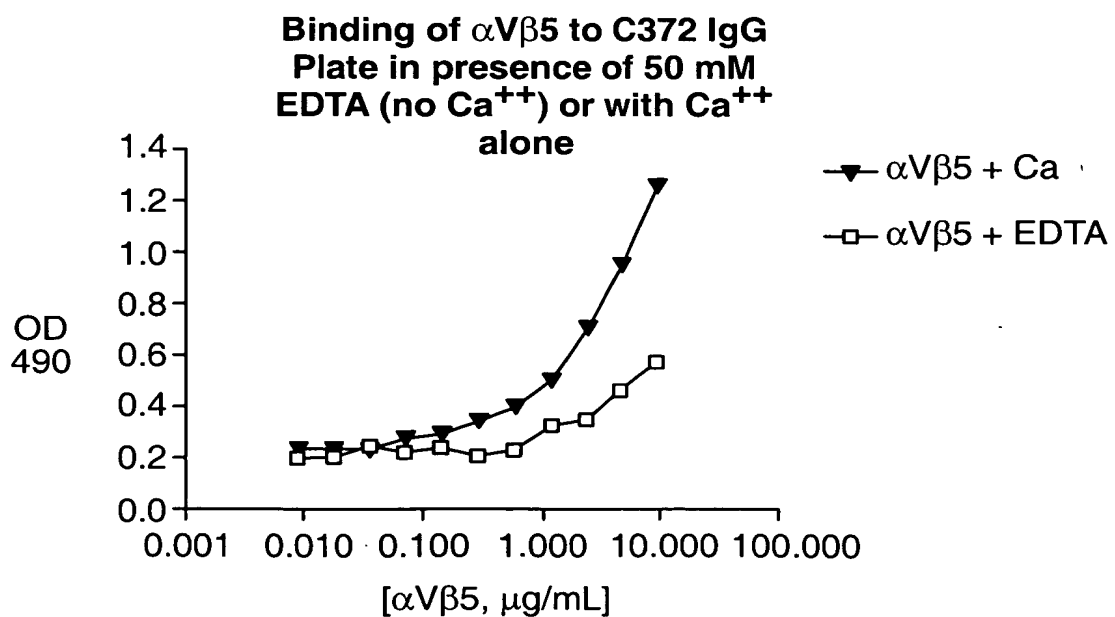
Binding of  $\alpha$ V $\beta$ 3 to LM609 IgG  
Plate in presence of 50 mM  
EDTA (no  $\text{Ca}^{++}$ ) or with  $\text{Ca}^{++}$   
alone



**FIG. 4E**

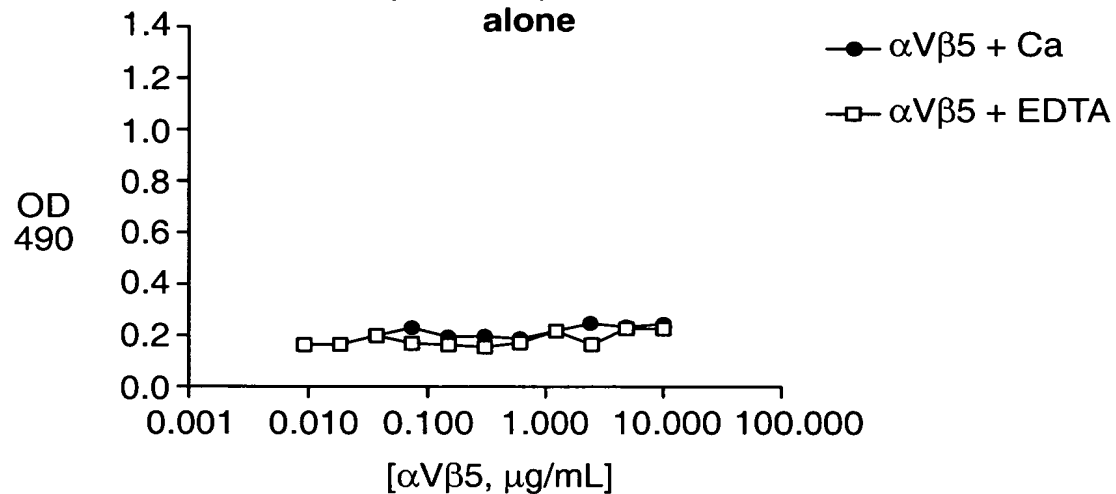


**FIG. 4F**

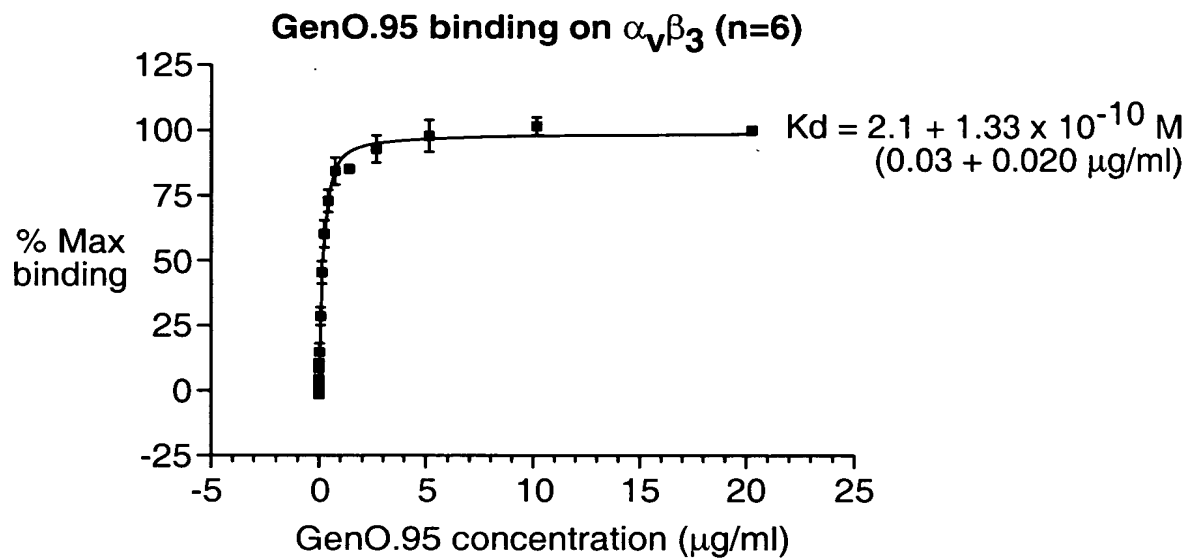


## **FIG. 4G**

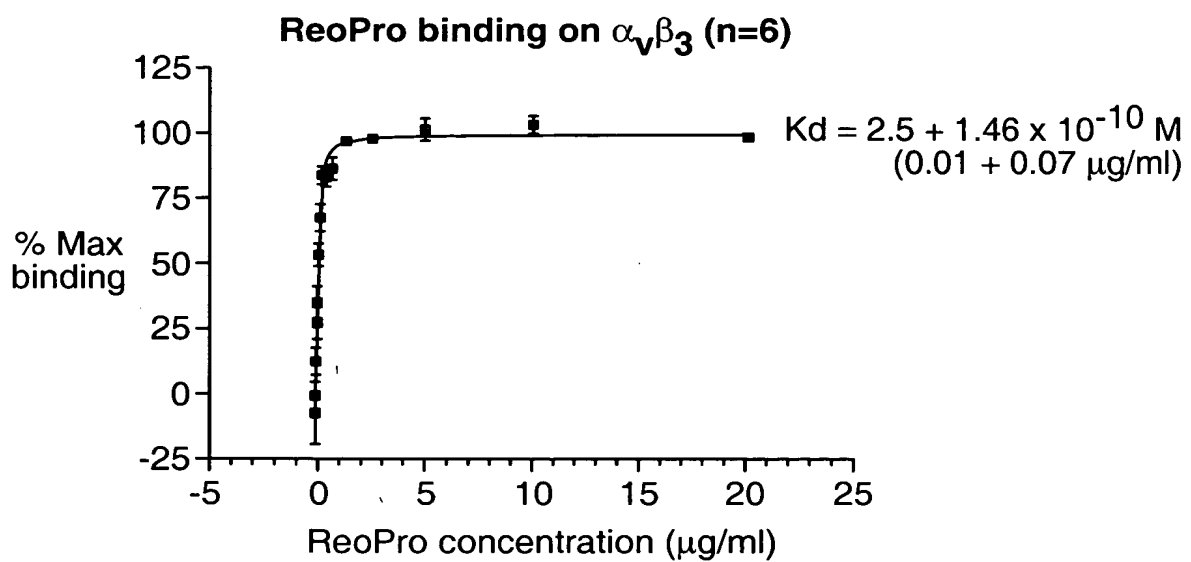
**Binding of  $\alpha$ V $\beta$ 5 to c7E3 IgG  
Plate in presence of 50 mM  
EDTA (no  $\text{Ca}^{++}$ ) or with  $\text{Ca}^{++}$   
alone**



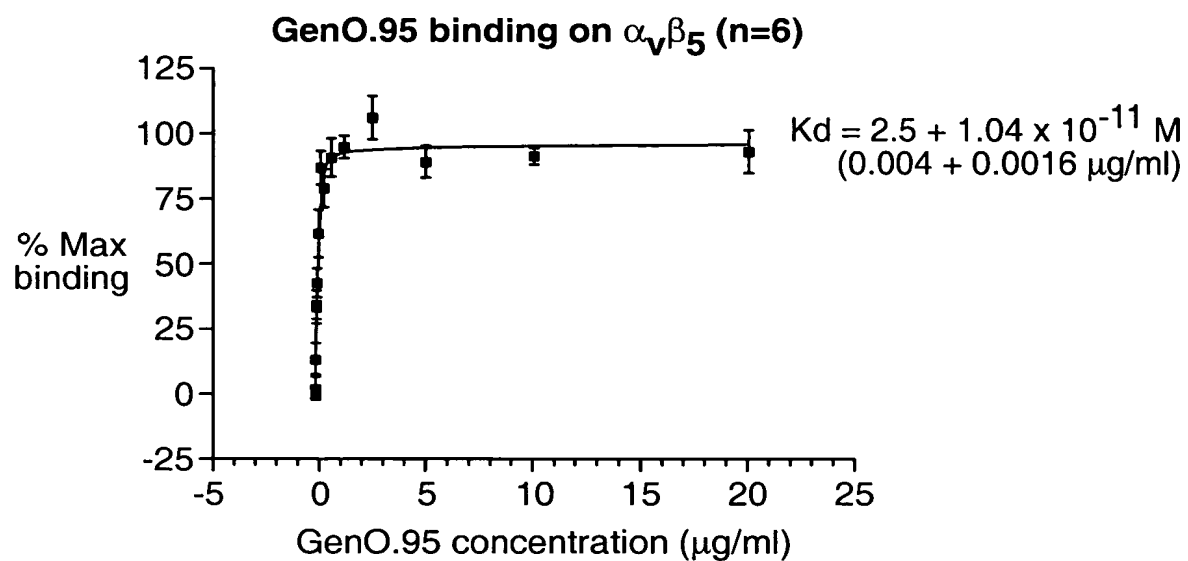
## **FIG. 5A**



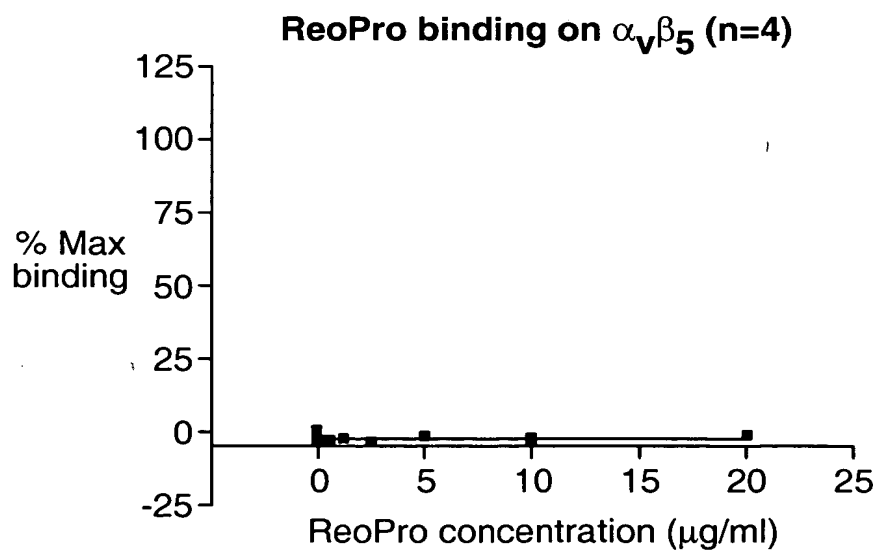
## **FIG. 5B**

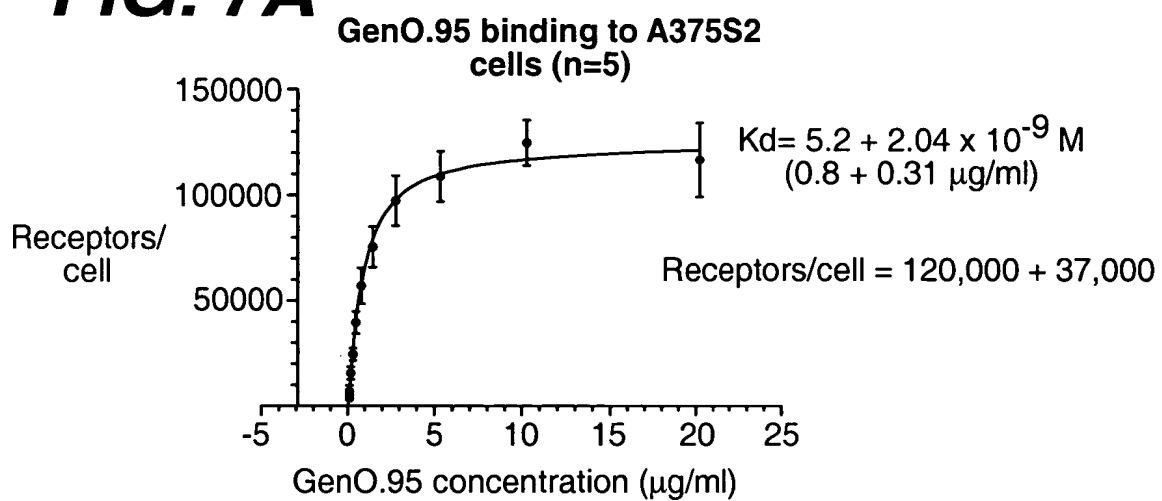
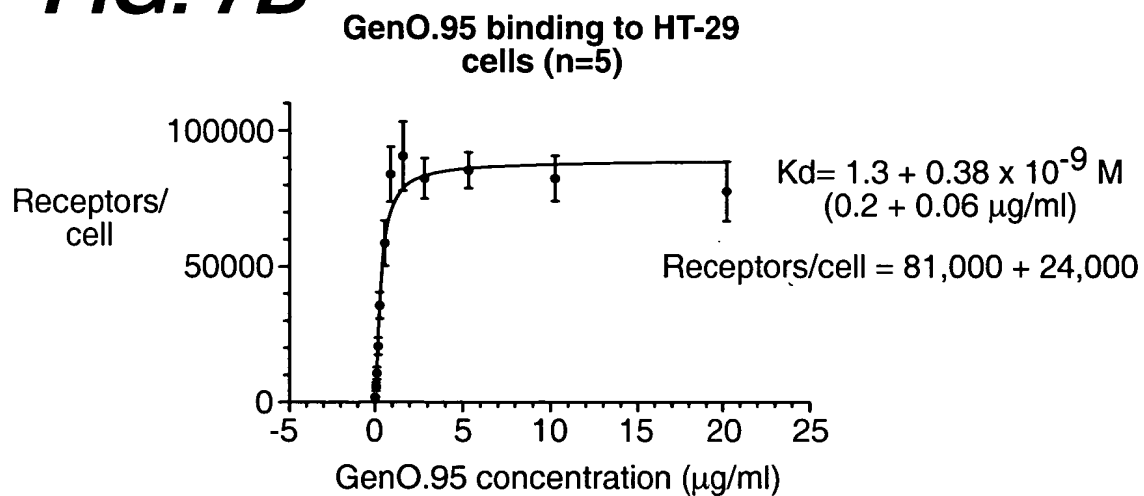
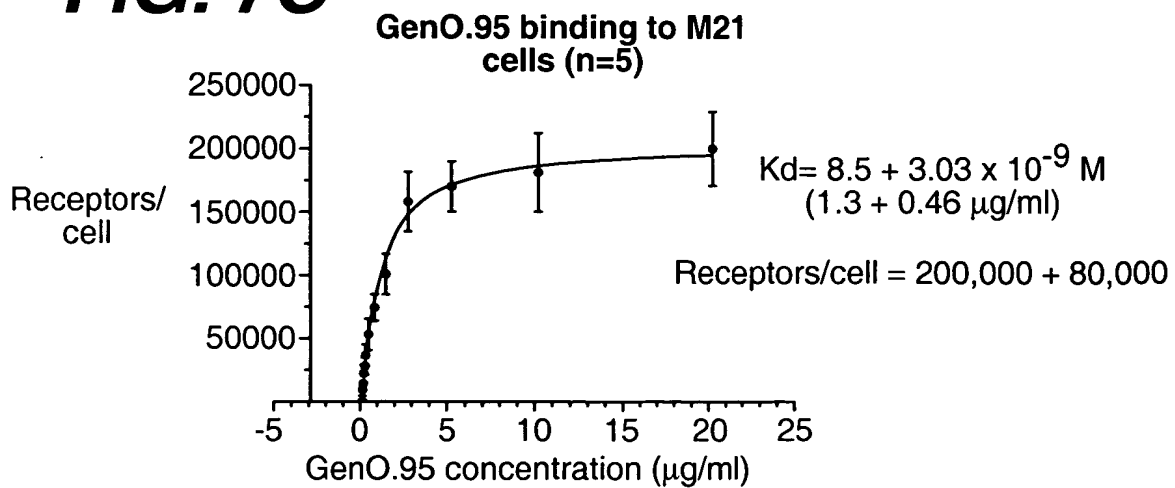


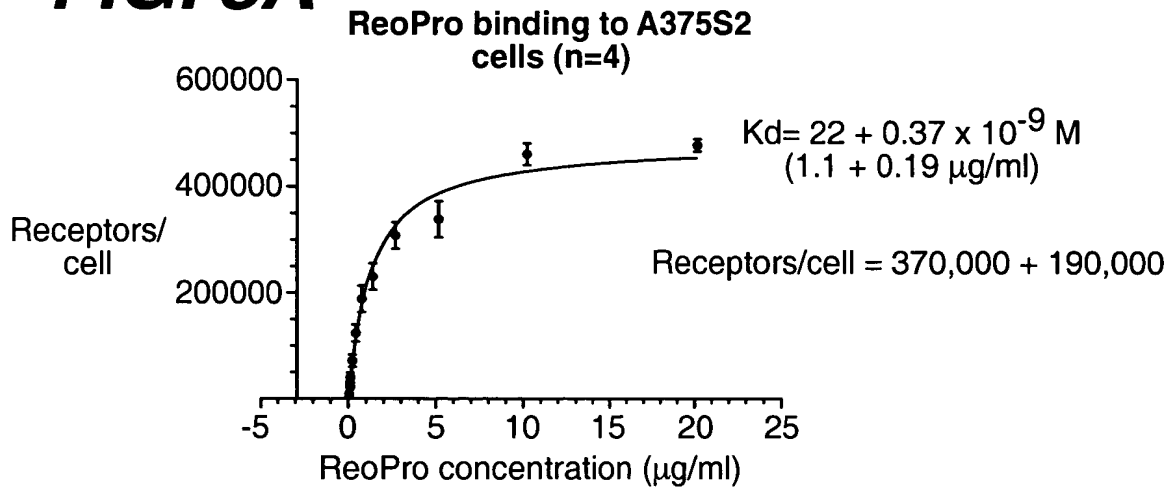
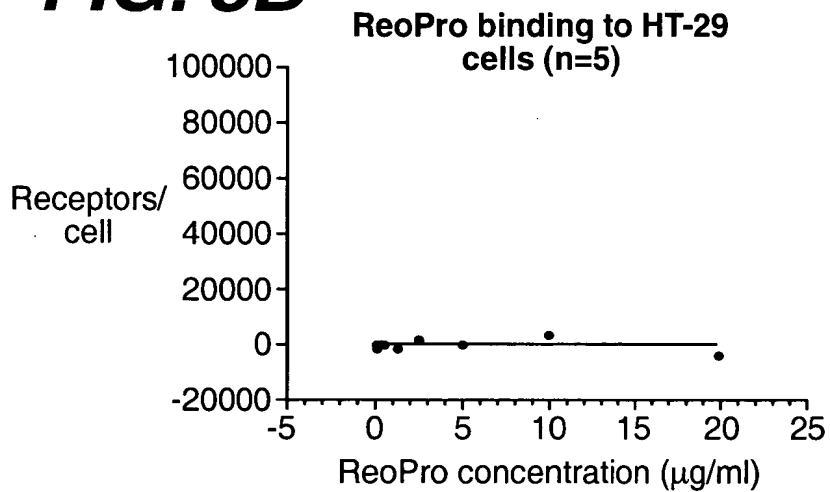
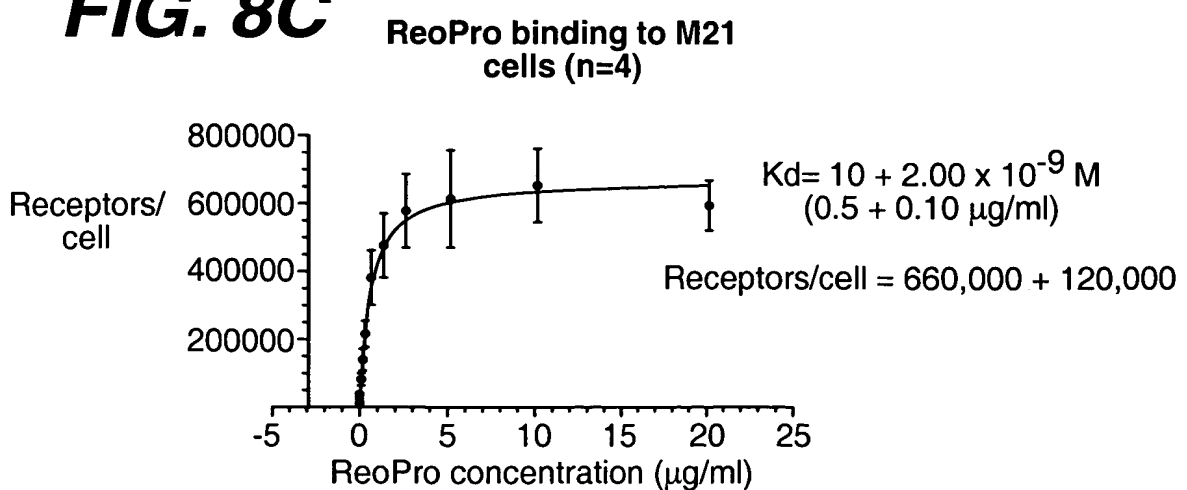
## **FIG. 6A**



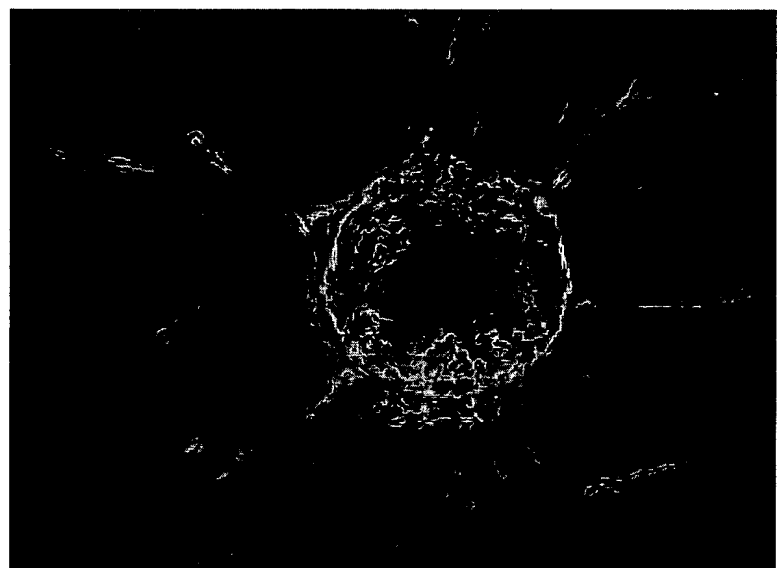
## **FIG. 6B**



**FIG. 7A****FIG. 7B****FIG. 7C**

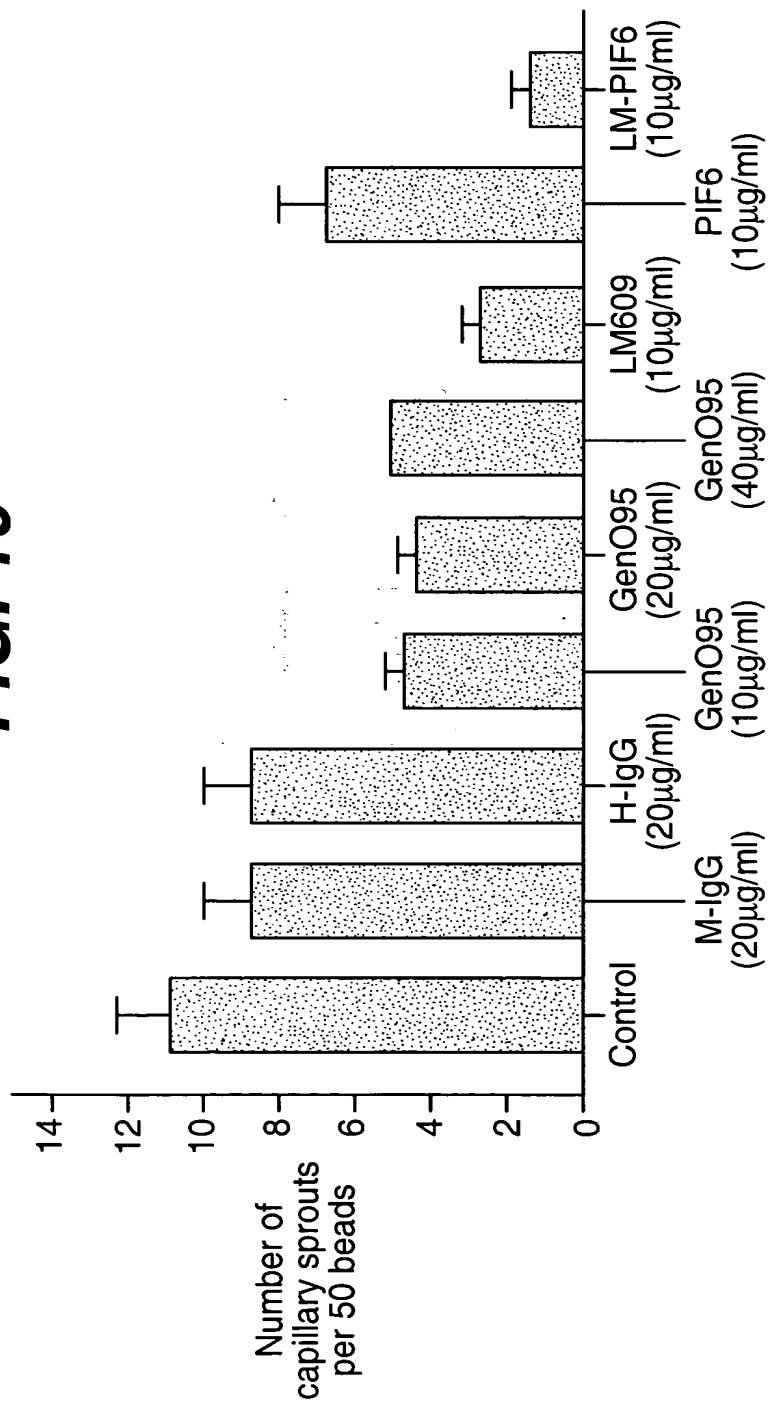
**FIG. 8A****FIG. 8B****FIG. 8C**

***FIG. 9***

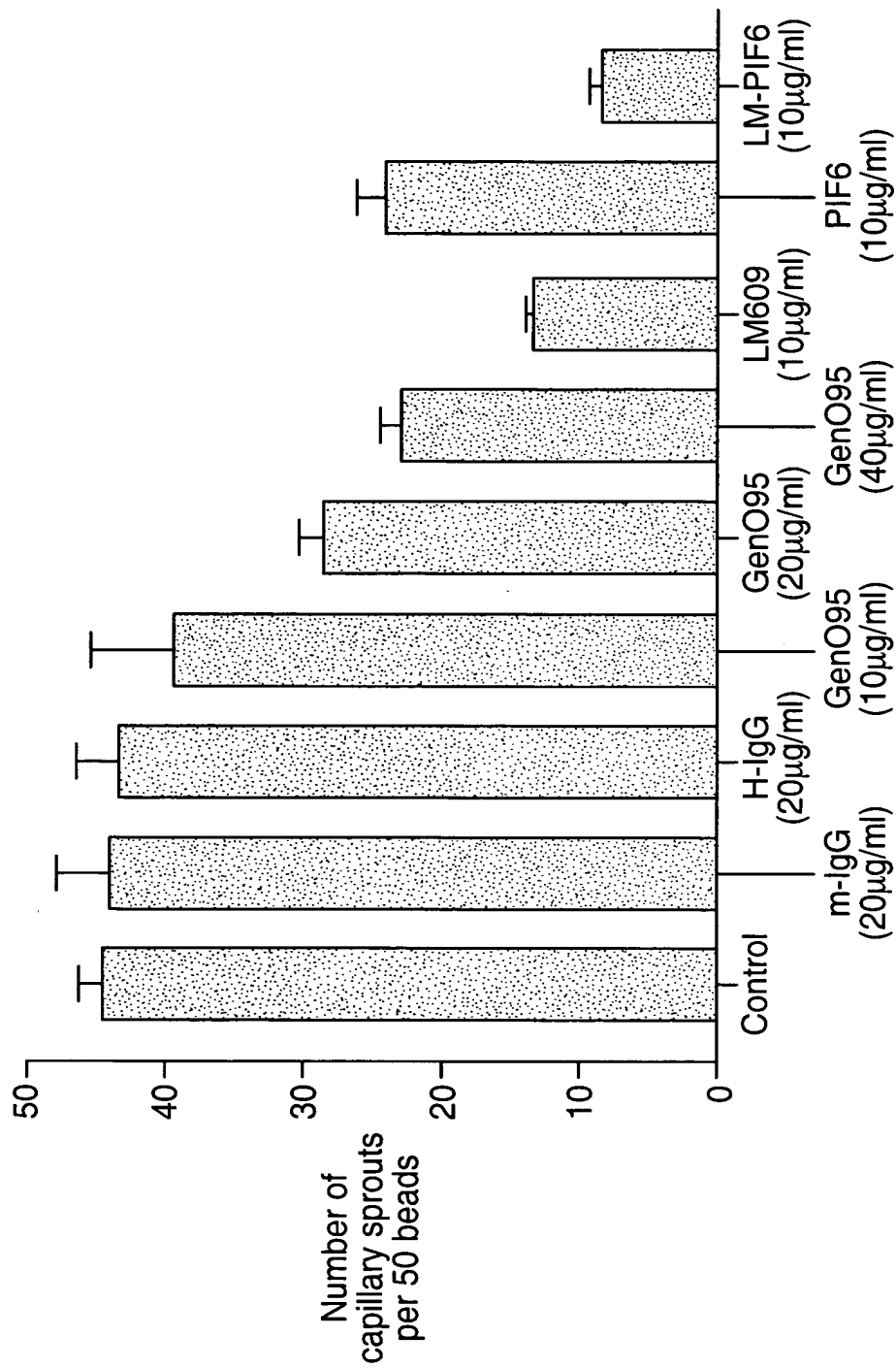


**BEST AVAILABLE COPY**

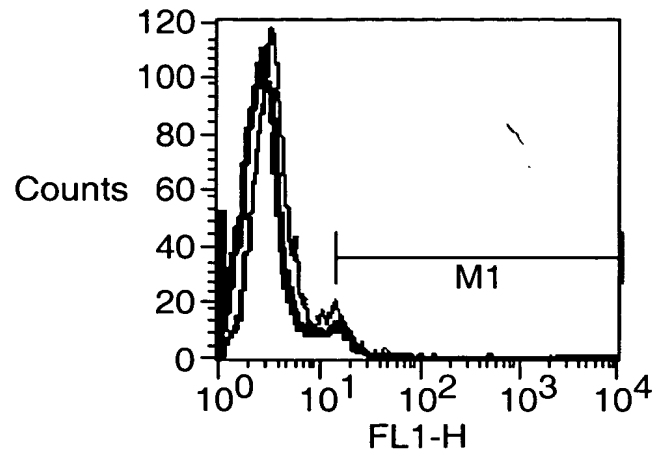
**FIG. 10**



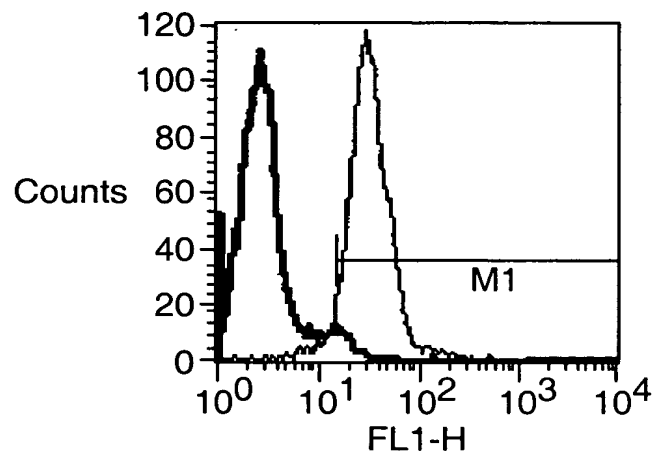
**FIG. 11**



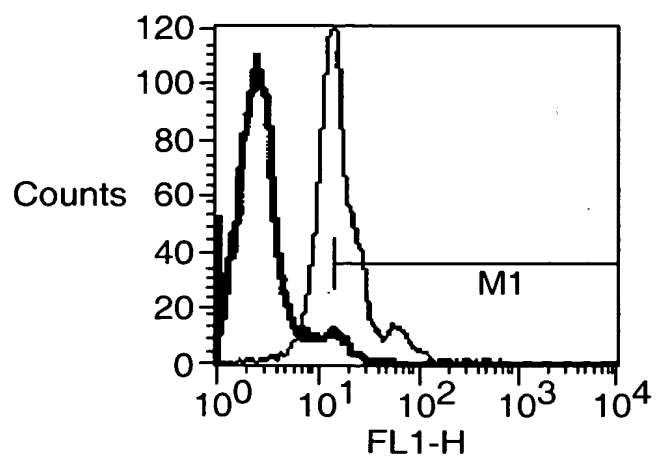
**FIG. 12A**



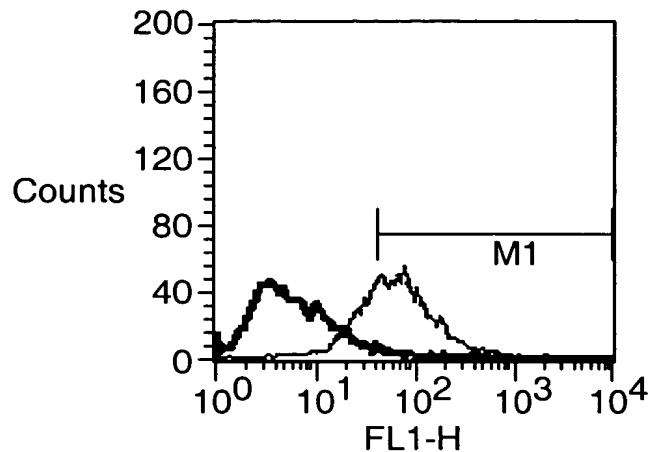
**FIG. 12B**



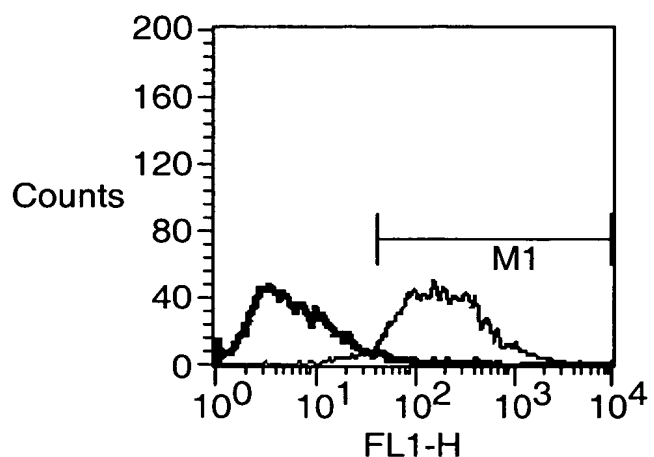
**FIG. 12C**



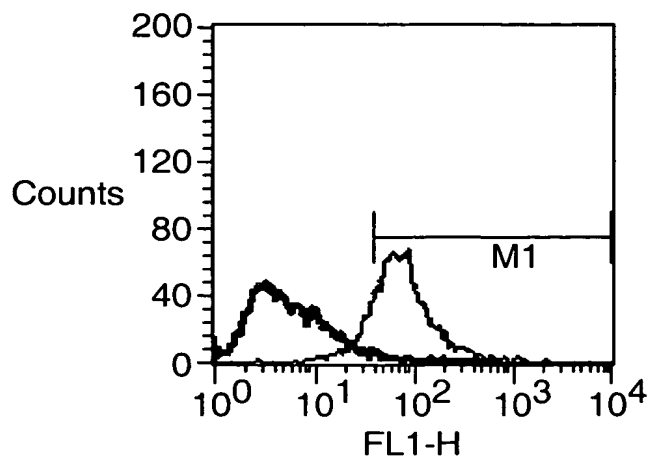
**FIG. 12D**



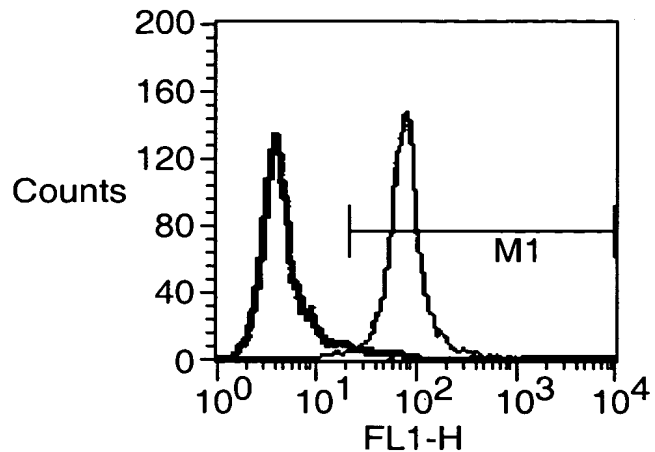
**FIG. 12E**



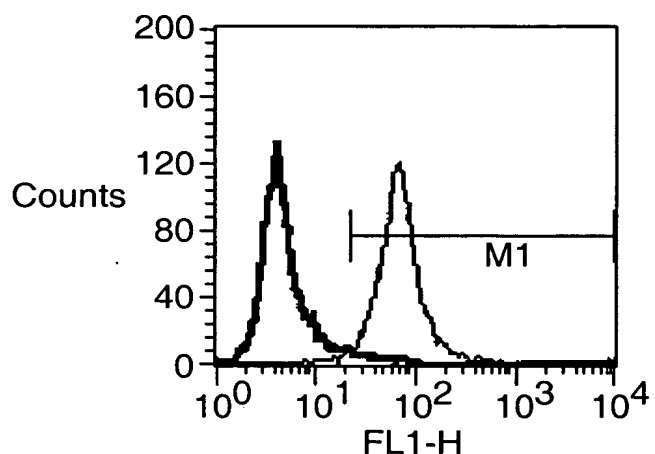
**FIG. 12F**



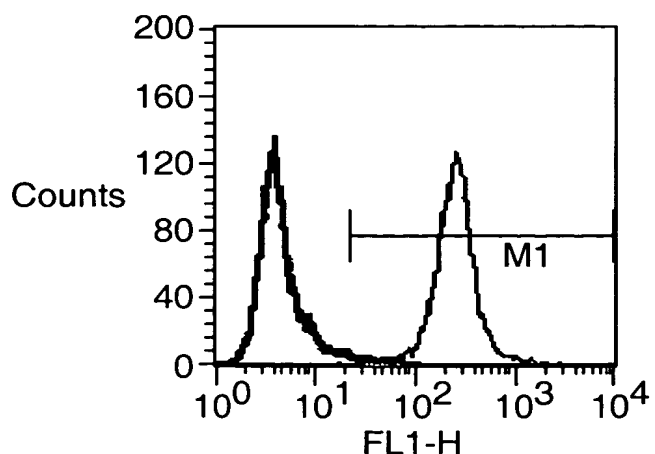
**FIG. 12G**



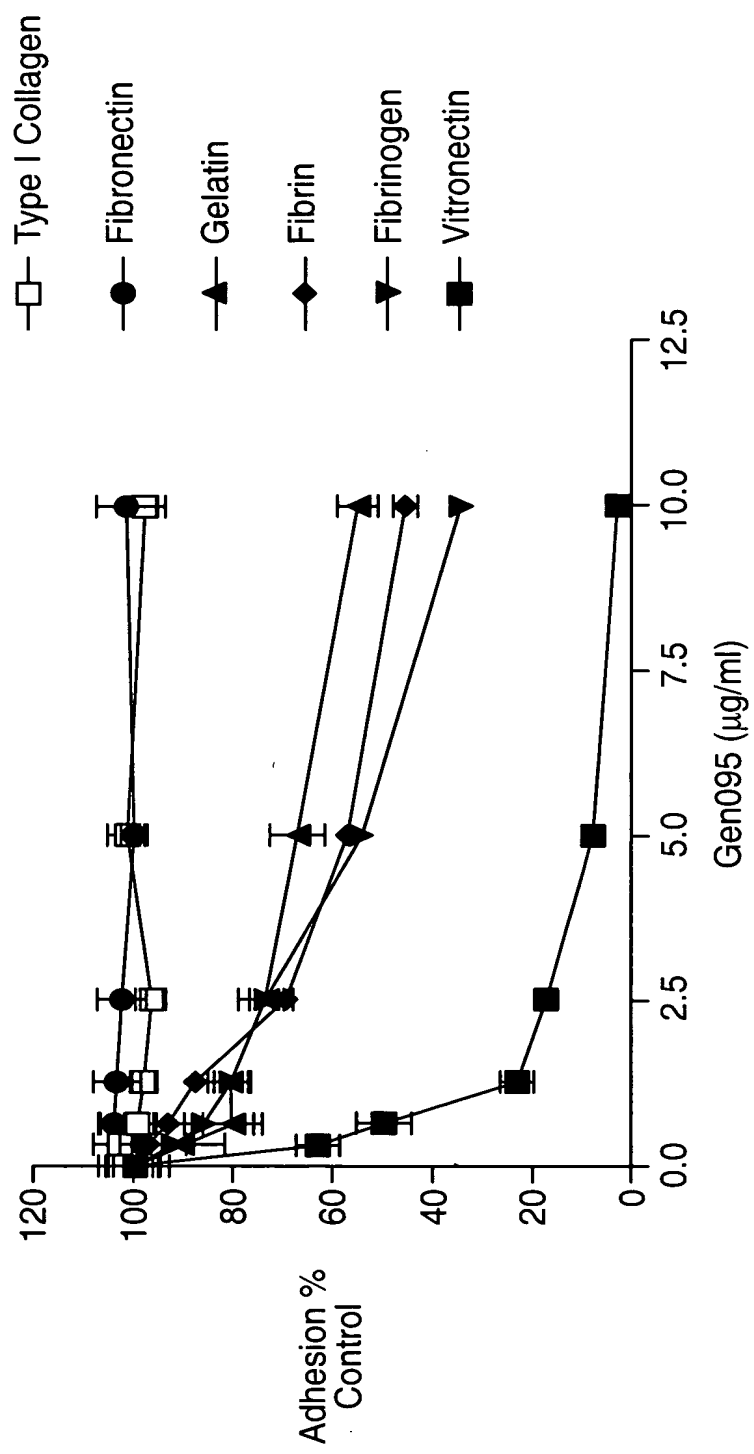
**FIG. 12H**



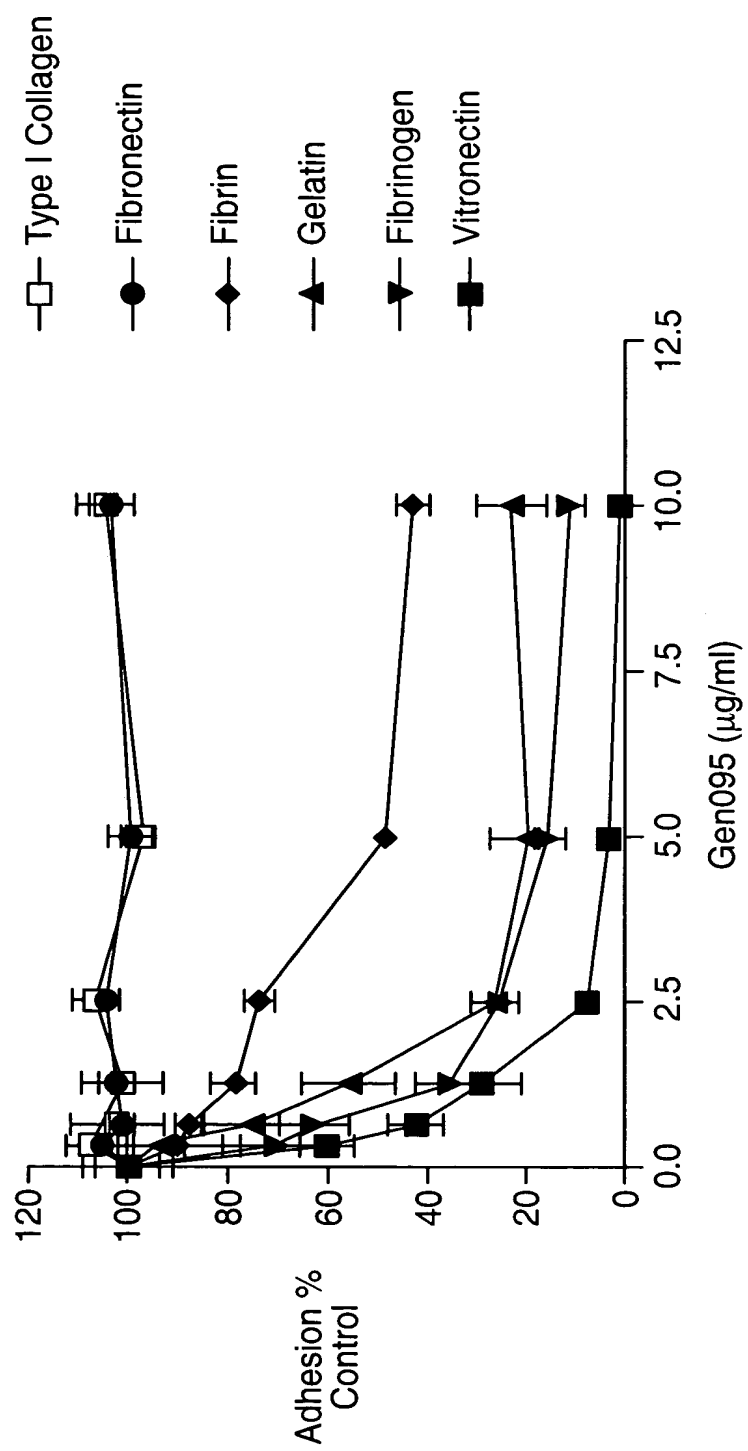
**FIG. 12 I**



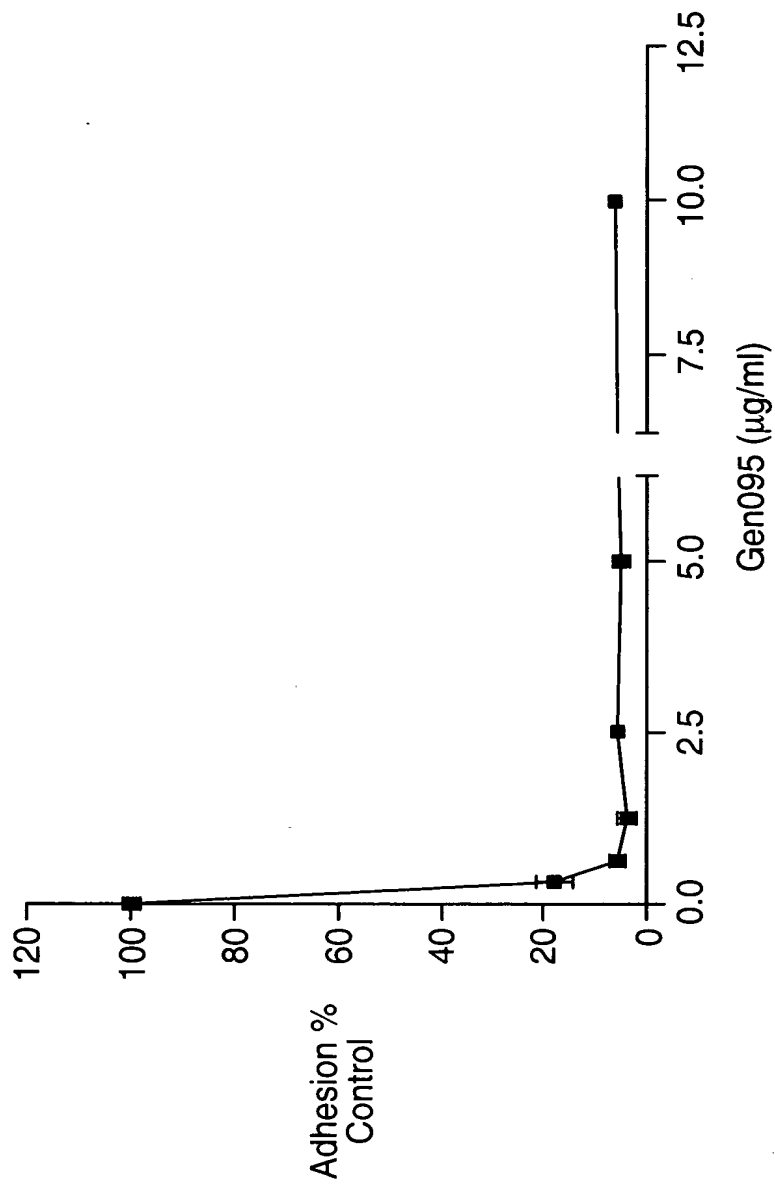
**FIG. 13**



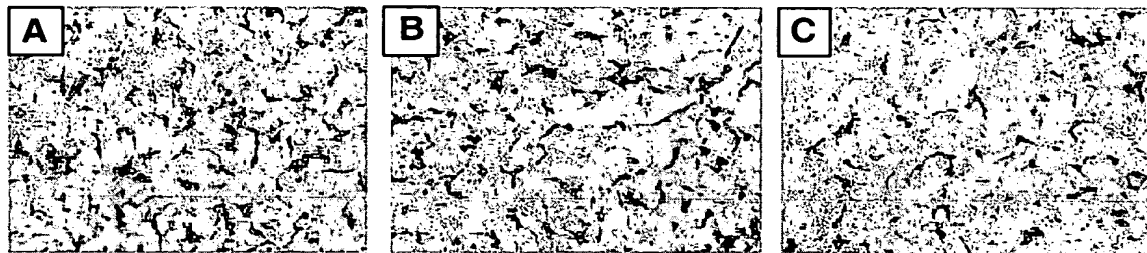
**FIG. 14**



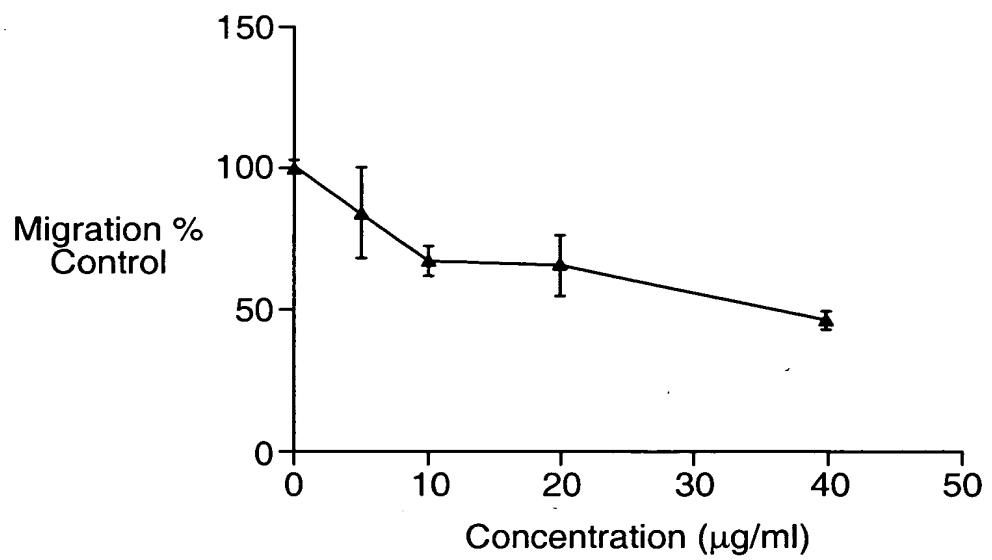
**FIG. 15**



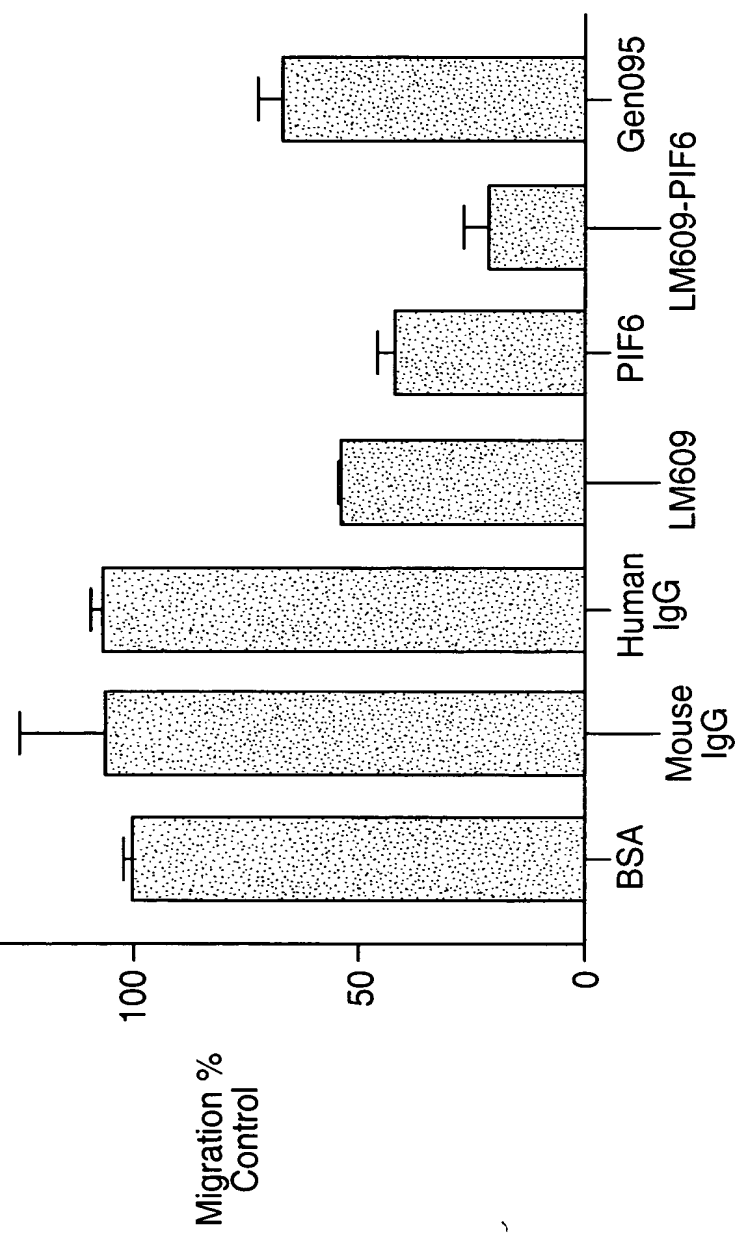
**FIG. 16A FIG. 16B FIG. 16C**



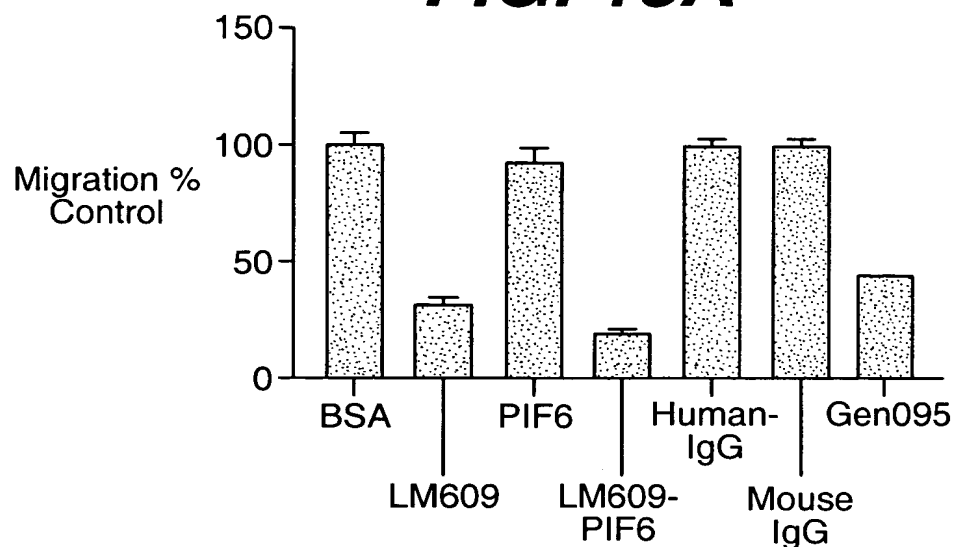
**FIG. 16D**



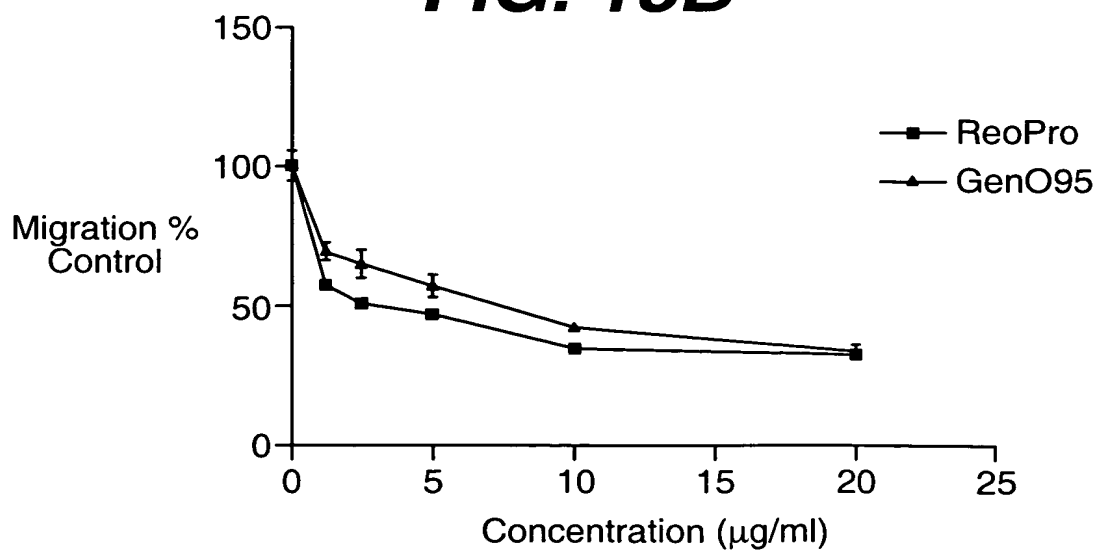
**FIG. 17**



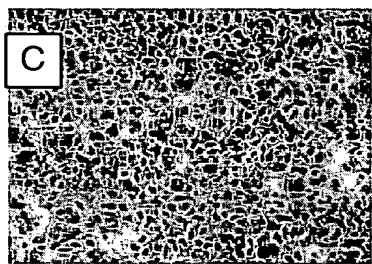
**FIG. 18A**



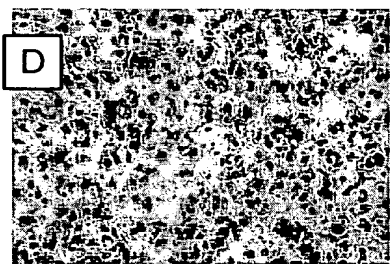
**FIG. 18B**



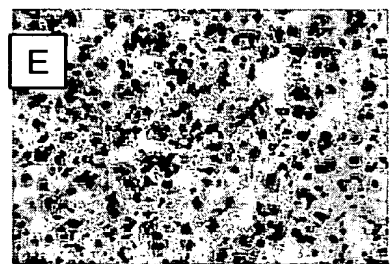
***FIG. 18C***



***FIG. 18D***

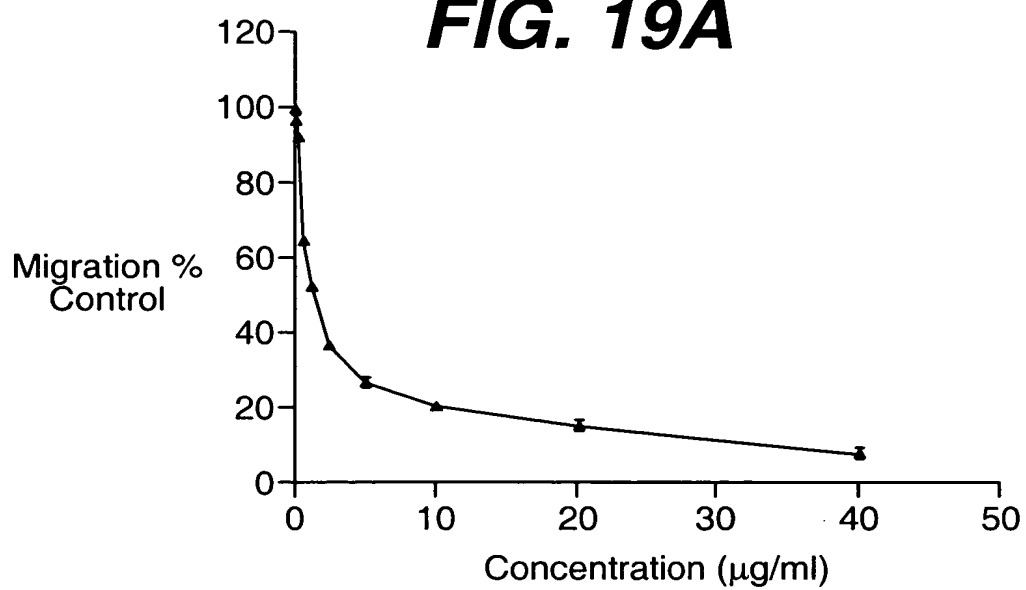


***FIG. 18E***

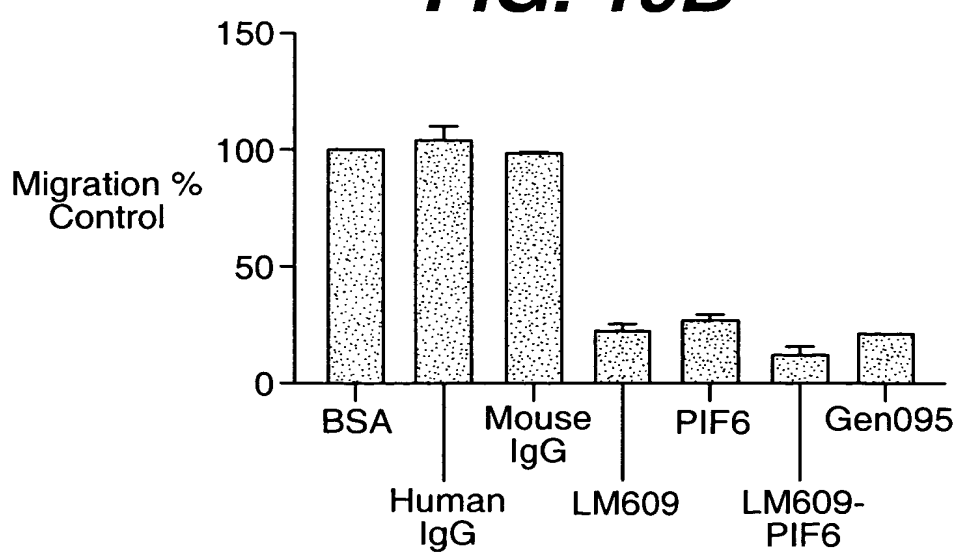


**BEST AVAILABLE COPY**

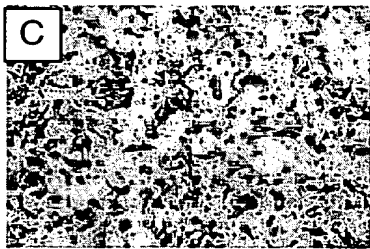
**FIG. 19A**



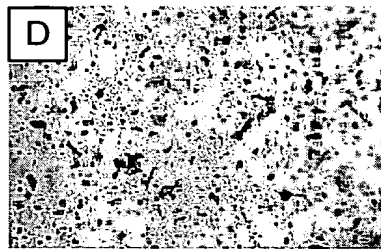
**FIG. 19B**



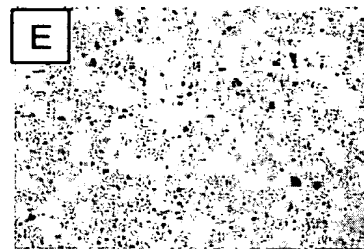
**FIG. 19C**



**FIG. 19D**

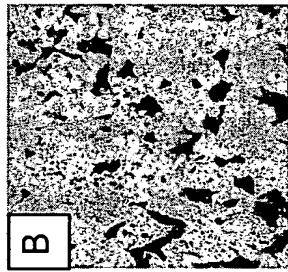


**FIG. 19E**

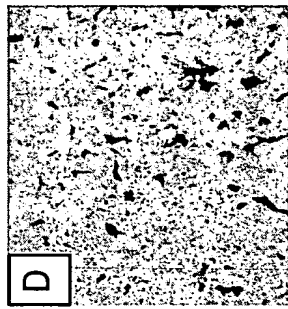


BEST AVAILABLE COPY

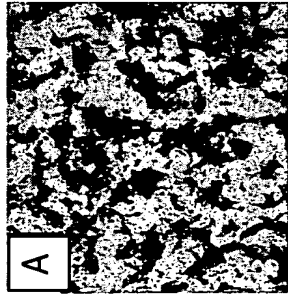
*FIG. 20B*



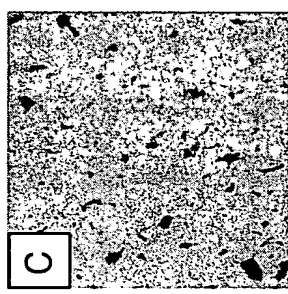
*FIG. 20D*



*FIG. 20A*

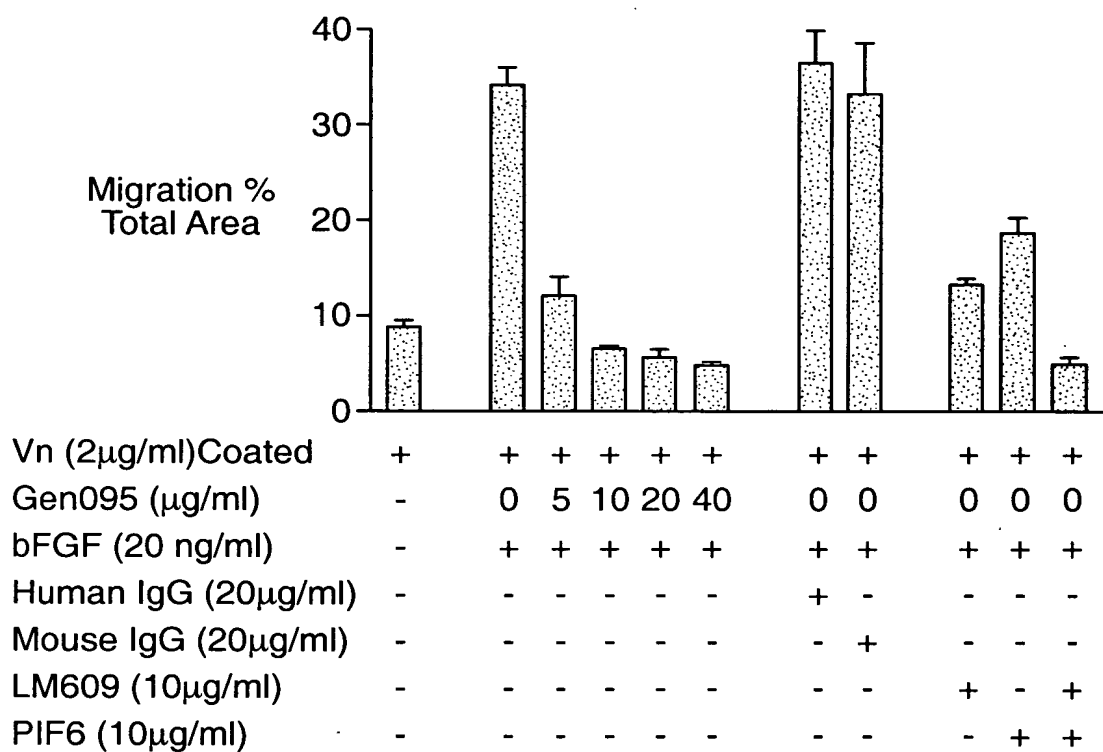


*FIG. 20C*

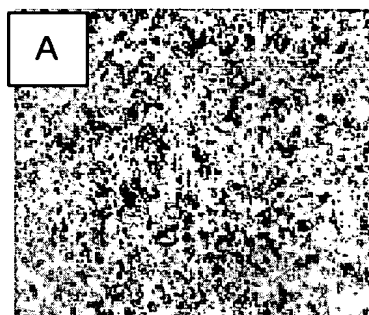


BEST AVAILABLE COPY

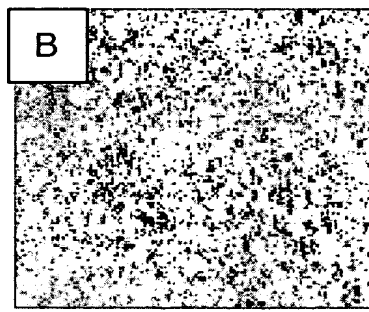
## **FIG. 20E**



**FIG. 21A**

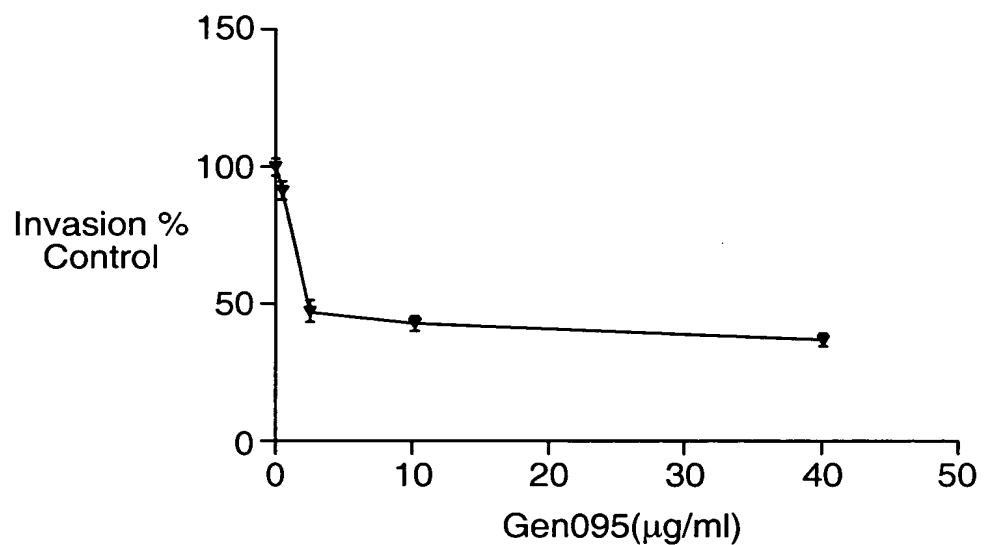


**FIG. 21B**

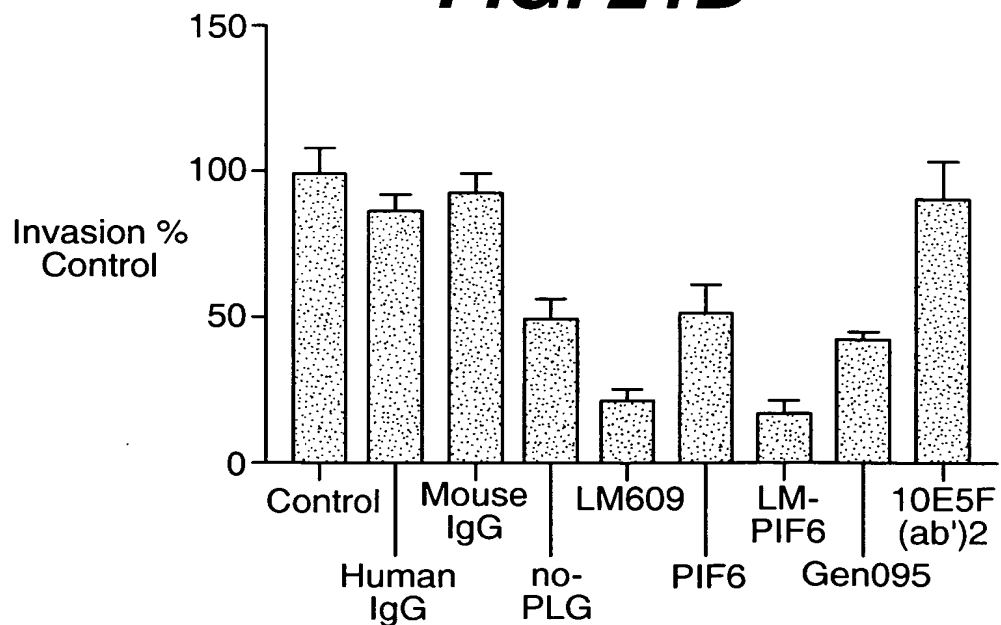


BEST AVAILABLE COPY

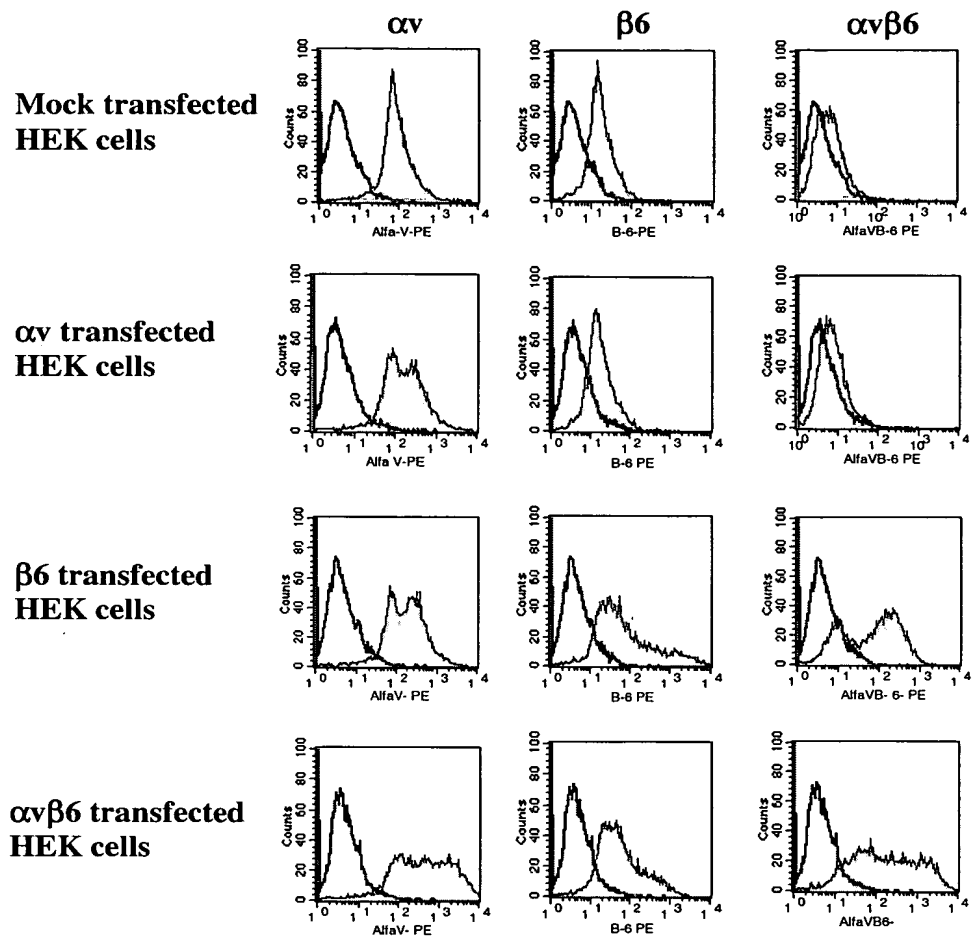
**FIG. 21C**



**FIG. 21D**

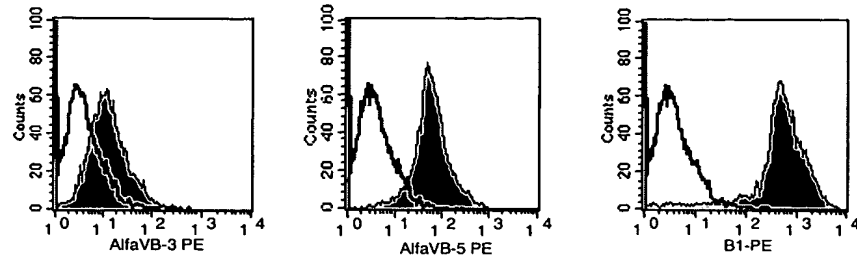


**FIG. 22A**

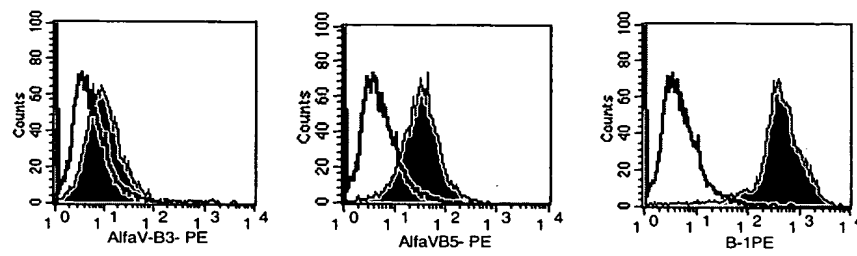


**FIG. 22B**

Mock transfected HEK cells

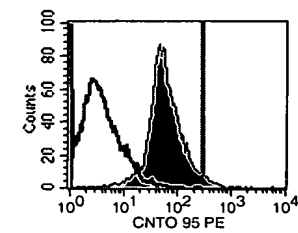


$\alpha v \beta 6$  transfected HEK cells

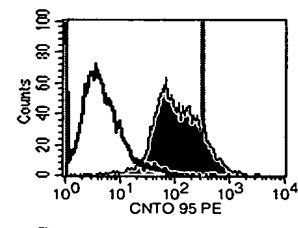


**FIG. 22C**

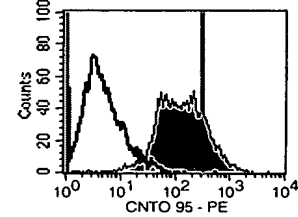
Mock



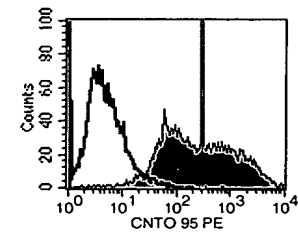
$\alpha v$



$\beta 6$

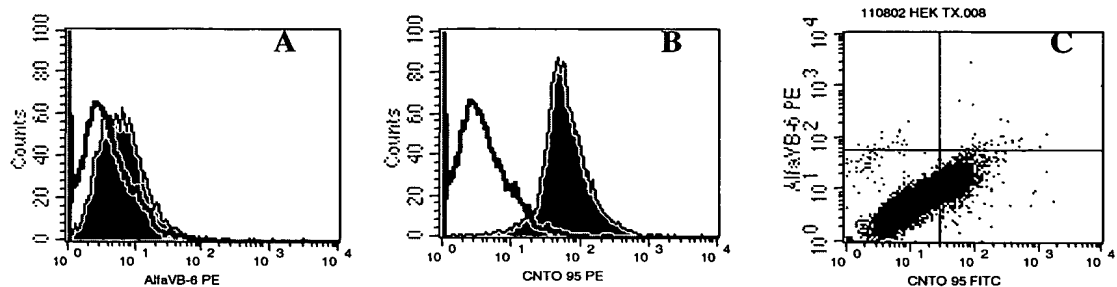


$\alpha v \beta 6$

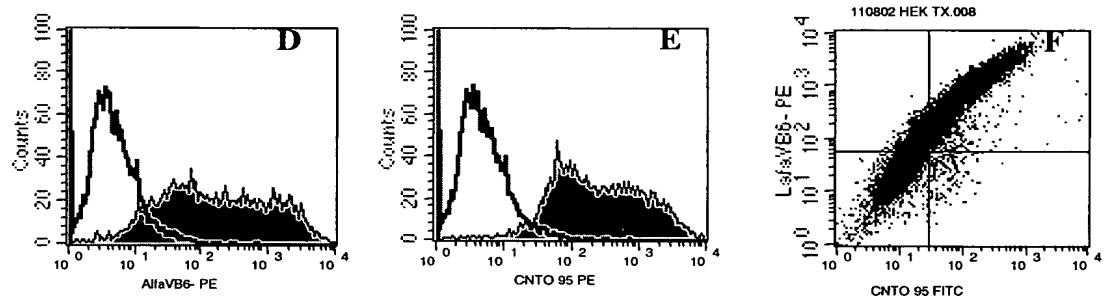


**FIG. 22D**

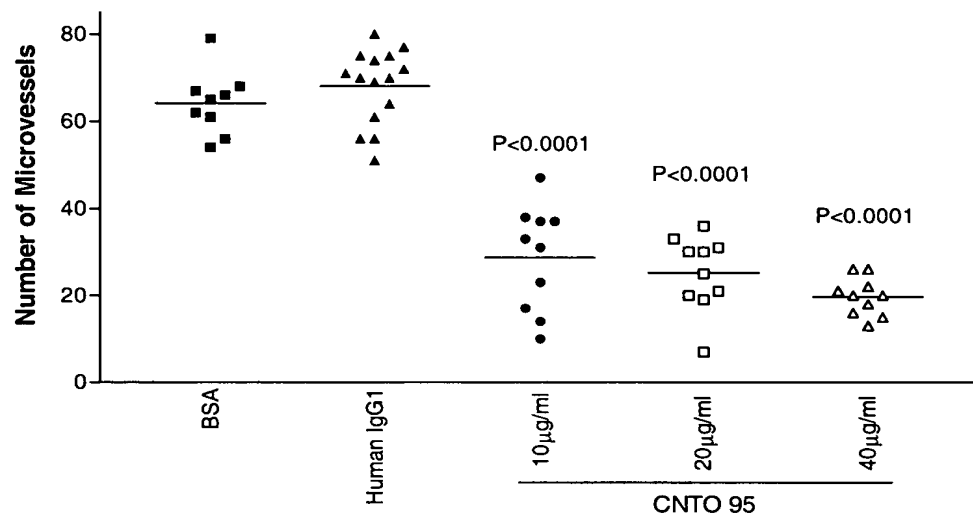
Mock transfected HEK cells



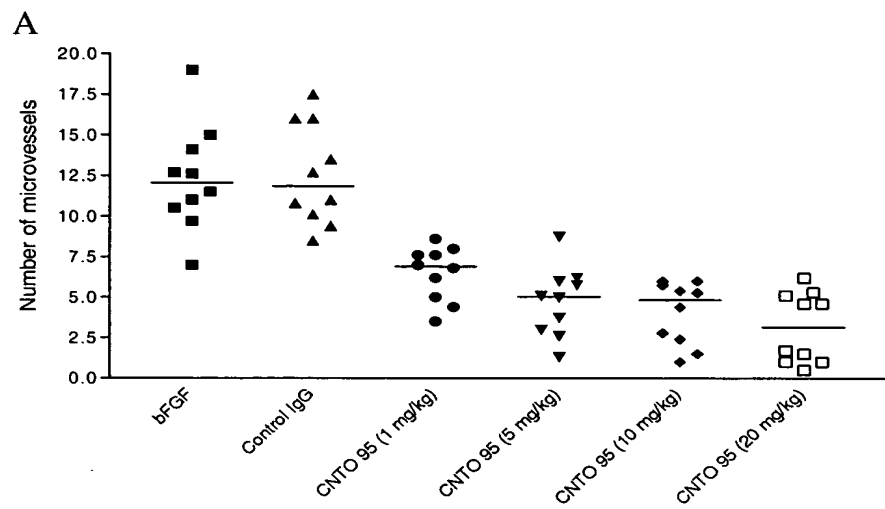
$\alpha\beta 6$  transfected HEK cells



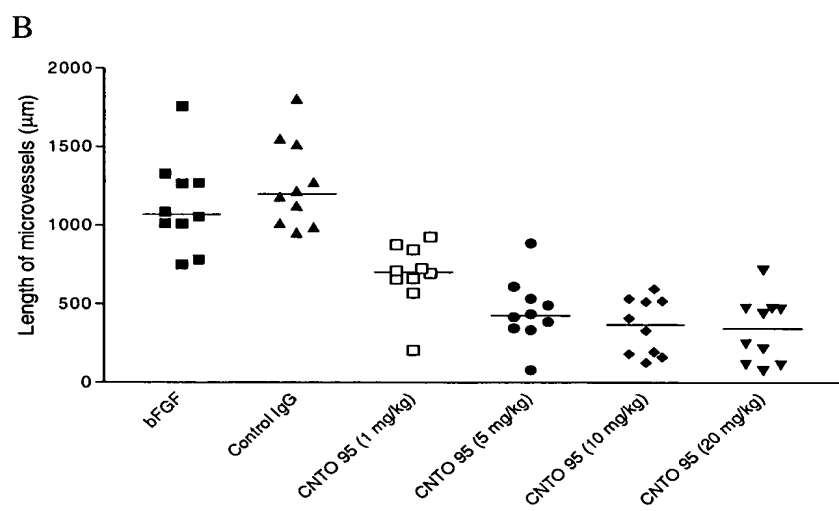
**FIG. 23**



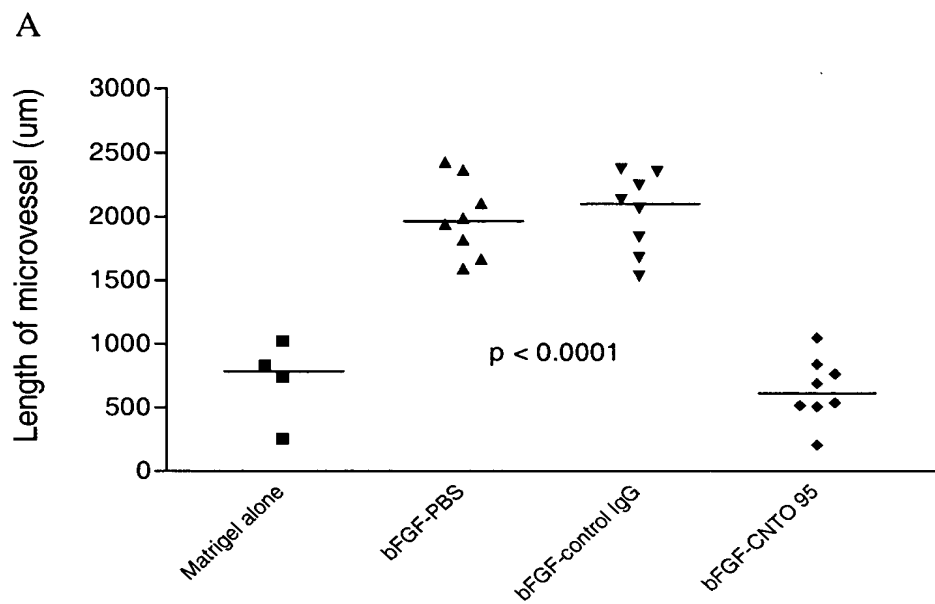
**FIG. 24A**



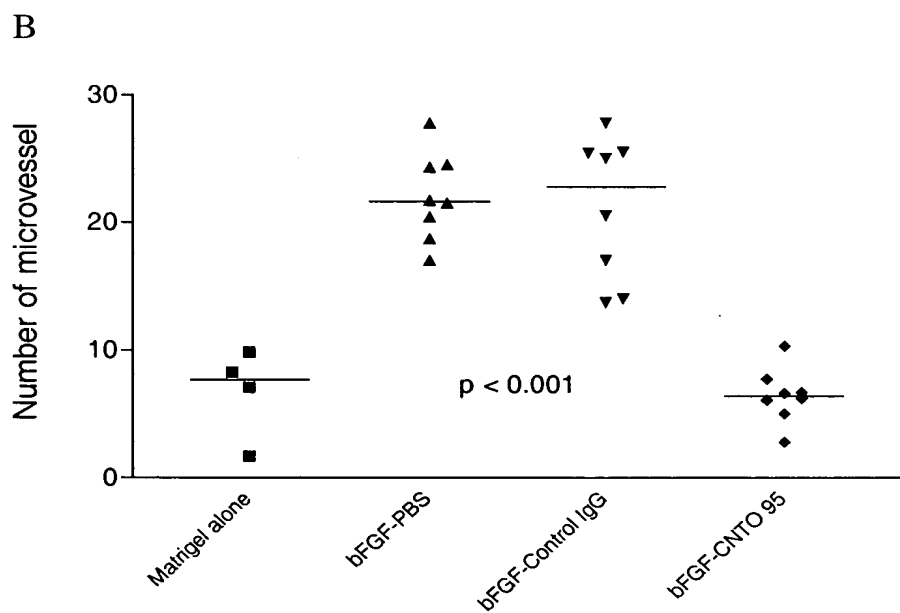
**FIG. 24B**



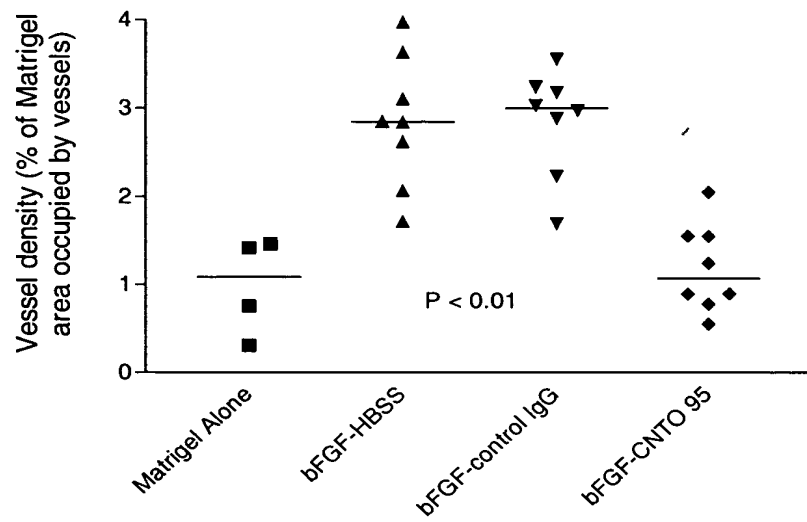
**FIG. 25A**



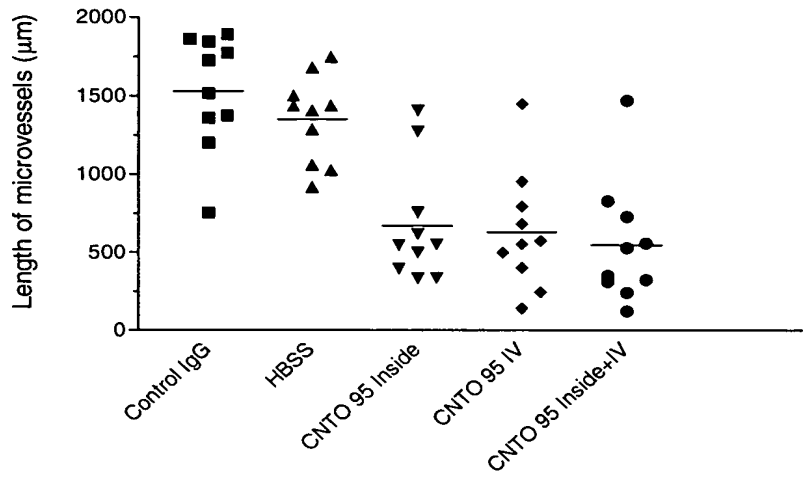
**FIG. 25B**



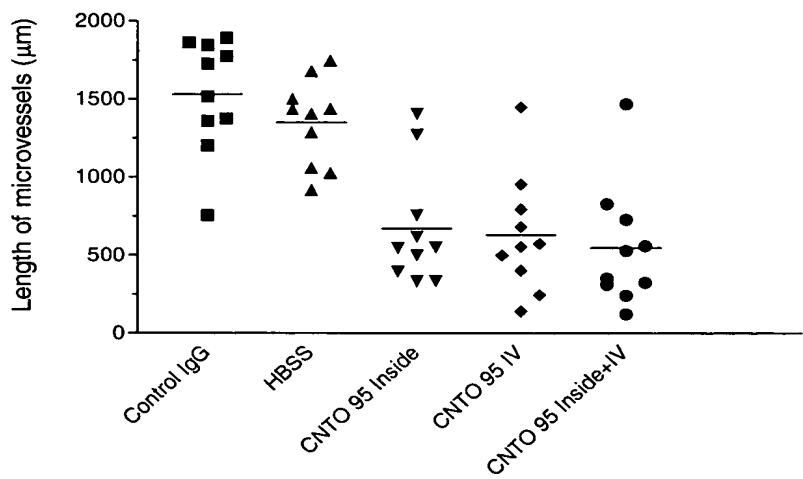
**FIG. 25C**



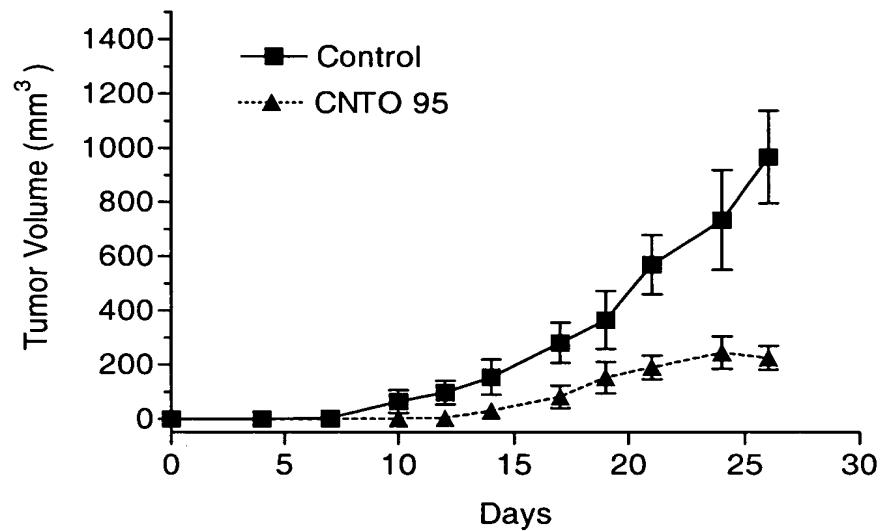
**FIG. 26A**



**FIG. 26B**



**FIG. 27**



**FIG. 28**

